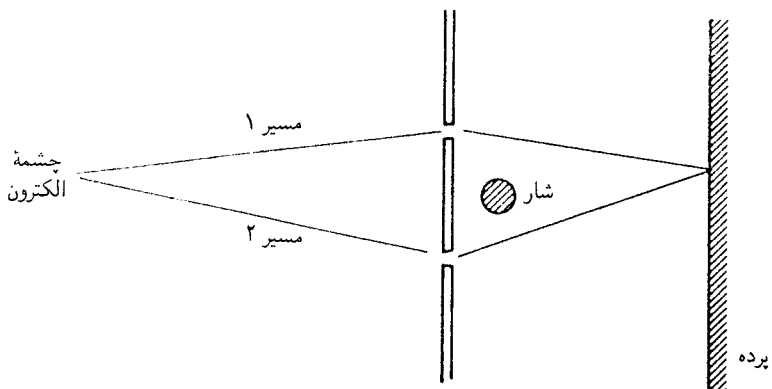


شکل ۱۳-۴ یک ابررسانا در دمای T که بیشتر از دمای بحرانی T_c است مانند هر فلز معمولی دیگر رفتار می‌کند، و خطهای شار مغناطیسی می‌توانند به درون آن نفوذ کنند. وقتی دما کاهش داده می‌شود تا اینکه $T < T_c$ ، حلقه ابررسانا می‌شود و خطهای شار مغناطیسی را دفع می‌کند. بعضی از این خطها در حلقه به دام می‌افتد. این شار محصور کوانتینده است.



شکل ۱۳-۵ طرح کلی آزمایش اندازهگیری انتقال نقش تداخل الکترون توسط شار مغناطیسی محصور.

این نتیجه با درک کنونی ما از پدیده ابررسانایی سازگار است، که بنابر آن "حالتهای همبسته" زوجهای الکترون (با بار $\pm e$!) موجودات بنیادی هستند که در ابررساناهای با آنها سروکار داریم. نشانه دیگری از وابستگی فاز تابع موج به شار را می‌توان، اصولاً، در یک آزمایش تداخل مشاهده کرد که در آن سیمولهای که شار مغناطیسی را محصور می‌کند بین شکافهای دستگاه دوشکافی قرار داده می‌شود (شکل ۱۳-۵). نقش تداخل روی پرده ناشی از برهمنهش دو قسمت

$$\psi = \psi_1 + \psi_2 \quad (95-13)$$

که در آن ψ_1 معرف قسمتی از تابع موج است که الکترونی را توصیف می‌کند که مسیر ۱ را می‌پیماید، و ψ_2 قسمت مربوط به مسیر ۲ است. در حضور سیمولوه، داریم

$$\begin{aligned} \psi &= \psi_1 e^{ie/\hbar c \int_1 dr \cdot A} + \psi_2 e^{ie/\hbar c \int_2 dr \cdot A} \\ &= (\psi_1 e^{ie\Phi/\hbar c} + \psi_2) e^{ie/\hbar c \int_2 dr \cdot A} \end{aligned} \quad (96-13)$$

بنابراین، شار باعث یک تغییر فاز نسبی بین ψ_1 و ψ_2 می‌شود و این فاز نسبی طرح تداخل را تغییر می‌دهد. این اثر، که ابتدا آهارانوف و بوهم متوجه آن شدند، به صورت تجربی مشاهده شده است.

مسائل

۱-۱۳ یک ذره به جرم m در یک نوسانگر هماهنگ سه بعدی با انرژی پتانسیل $2m\omega^2 r^2 / 2$ دارای طیفی است که از رابطه زیر به دست می‌آید

$$E = \hbar\omega(2n_r + l + 3/2)$$

که در آن n_r عدد کوانتومی شعاعی ($\dots, 0, 1, 2, 3, \dots$) و l تکانه زاویه‌ای مداری ($\dots, 0, 1, 2, 3, \dots, l$) است. فرض کنید ذره دارای بار q است و در میدان مغناطیسی ضعیف B قرار دارد. طیف آن را برای سه حالت اول انرژی ترسیم کنید.

۲-۱۳ یک اتم پوزیترونیم، از یک الکترون و یک پوزیترون (با بار $+e$ و جرم m_e را در حالت مقید هیدروژنگونه، را در نظر بگیرید. هامیلتونی این دستگاه را در یک میدان مغناطیسی خارجی ثابت بنویسید، و نشان دهید که (با نادیده گرفتن اسپینهای الکترون و پوزیترون) اثر زیمان روی نمی‌دهد.

۳-۱۳ ذره‌ای به جرم M به یک سر میلهٔ صلب بدون جرمی به طول ثابت R متصل شده است. سر دیگر میله در مبدأ ثابت است، و میله می‌تواند آزادانه حول این نقطه ثابت بچرخد.

(الف) استدلال کنید که چرا هامیلتونی این دستگاه را می‌توان به صورت زیر نوشت

$$H = \frac{\mathbf{L}^2}{2I} = \frac{(\mathbf{R} \times \mathbf{p})^2}{2I}$$

$$\text{که در آن } I = MR^2$$

(ب) اگر ذره حامل بار q باشد و این چرخانه در میدان مغناطیسی ثابت \mathbf{B} گذاشته شود، هامیلتونی جدید را به دست آورید.

(ج) طیف انرژی را به ازای مقادیر کوچک B تعیین کنید.

۴-۱۳ طول موجه‌ای سه خط زیمان را در گذار $2P \rightarrow 3D$ برای هیدروزن در میدان $10^4 G$ به دست آورید.

۵-۱۳ توزیع $55-55$ را در نظر بگیرید:

$$P(x) = x^m e^{-x} \quad (m > 0)$$

که می‌دانیم مقدار آن در $\sqrt{m} = x$ بیشینه است. نشان دهید پنهانی این توزیع تقریباً برابر است با $1/\sqrt{m}$.

[راهنمایی: قرار دهید $(1 + \delta) P(x)/P_{\max}$ و $x = \sqrt{m}(1 + \delta)$ را محاسبه کنید.]

۶-۱۳ نشان دهید برای دستگاهی که با هامیلتونی

$$H = \frac{[\mathbf{p} + (e/c)\mathbf{A}(\mathbf{r}, t)]^2}{2\mu}$$

توصیف می‌شود، شار \mathbf{j} ، که در معادله

$$\frac{\partial}{\partial t} \psi^* \psi + \nabla \cdot \mathbf{j} = 0$$

صدق می‌کند، با رابطه زیر داده می‌شود

$$\mathbf{j} = \frac{\hbar}{2i\mu} \left[\psi^* \nabla \psi - \psi \nabla \psi^* + \frac{2ie}{\hbar c} \mathbf{A}(\mathbf{r}, t) \psi^* \psi \right]$$

۷-۱۳ مسئله ویژه مقداری را برای یک ذره باردار در میدان مغناطیسی $(0, 0, B)$ و میدان الکتریکی متعامد $(E, 0, 0)$ حل کنید.

[راهنمایی: انتخاب مناسب پیمانه اهمیت دارد.]

۸-۱۳ این مسئله مثالی است که نشان می‌دهد چگونه شار مغناطیسی محصور تکانه زاویه‌ای یک ذره را در ناحیه خارج از لوله شار تغییر می‌دهد. یک میدان مغناطیسی محصور در ناحیه استوانه‌ای $a < r < b$ را در نظر بگیرید. شار را Φ بگیرید. در ناحیه $a < r < b$ میدان مغناطیسی وجود ندارد، و در نتیجه پتانسیل برداری به صورت زیر است

$$\mathbf{A}(\rho, \theta, z) = \nabla \Lambda(\rho, \theta, z)$$

$$\nabla^r \Lambda = 0$$

نشان دهید جواب این معادله، که در $92 - 13$ صدق می‌کند، عبارت است از

$$\Lambda = \frac{1}{2\pi} \Phi \theta$$

(ب) تکانه زاویه‌ای حول محور تقارن

$$(\mu \mathbf{r} \times \mathbf{v})_z = \tilde{L}_z = \left[\mathbf{r} \times \left(\frac{\hbar}{i} \boldsymbol{\nabla} + \frac{e}{c} \mathbf{A} \right) \right]_z$$

را در مختصات استوانه‌ای محاسبه کنید، و نشان دهید بهازای Λ ای بالا برابر است با

$$\tilde{L}_z = \frac{\hbar}{i} \frac{\partial}{\partial \theta} + \frac{e}{c} \frac{\Phi}{2\pi}$$

(ج) مسئله ویژه‌مقداری $\psi = \lambda \tilde{L}_z$ را حل کنید، و نشان دهید تک‌مقدار بودن ویژه‌تابعها موجب کوانتش شار می‌شود.

۹-۱۳ الکترونی را در نظر بگیرید که در ناحیه بین دو استوانه به شعاعهای a و b ($b > a$) محصور شده است. (الف) معادله شرودینگر را در مختصات استوانه‌ای جدا‌سازی کنید (معادله $13 - 43$)، و نشان دهید این معادله را می‌توان بر حسب توابع بسل حل کرد. چه شرایطی ویژه‌مقدارهای انرژی را تعیین می‌کنند؟ (ب) درباره واگنی ویژه‌تابعهای انرژی بحث کنید. این واگنی از کجا ناشی می‌شود؟ برای توابع بسل به یادداشت زیر مراجعه کنید.
یادداشت: جوابهای معادله بسل

$$\frac{d^r u}{dz^r} + \frac{1}{z} \frac{du}{dz} + \left(1 - \frac{n^r}{z^r} \right) u = 0$$

که در آن n عدد درست است دو نوع هستند: جوابهای منظم

$$J_n(z) = \left(\frac{z}{2} \right)^n \sum_{l=0}^{\infty} \frac{(iz/2)^{ll}}{l!(n+l)!}$$

$$N_n(z) = \frac{\gamma}{\pi} J_n(z) \log \frac{\gamma z}{2} - \frac{1}{\pi} \left(\frac{z}{2} \right)^n \sum_{l=0}^{\infty} \frac{(iz/2)^l}{l!(n+l)!} a_{nl}$$

$$- \frac{1}{\pi} \left(\frac{z}{2} \right)^{-n} \sum_{l=0}^{n-1} \frac{(n-l-1)!}{l!} \left(\frac{z}{2} \right)^l$$

$$(\log \gamma = 0.5772 \dots) \quad a_{nl} = \left(\sum_{m=1}^l \frac{1}{m} + \sum_{m=1}^{l+n} \frac{1}{m} \right)$$

که توابع نویمان نامیده می‌شوند. رفتار مجانبی این توابع به صورت زیر است

$$J_n(z) \sim \left(\frac{2}{\pi z} \right)^{1/2} \cos \left(z - \frac{n\pi}{2} - \frac{\pi}{4} \right) \left[1 + O \left(\frac{1}{z^2} \right) \right]$$

$$N_n(z) \sim \left(\frac{2}{\pi z} \right)^{1/2} \sin \left(z - \frac{n\pi}{2} - \frac{\pi}{4} \right) \left[1 + O \left(\frac{1}{z^2} \right) \right]$$

بحث مفصل ویژگیهای این توابع را می‌توان در اکثر کتابهای ریاضی فیزیک که به توابع خاص می‌پردازند یافت.

مراجع

درباره ویژگیهای مختلف حرکت الکترون در میدان مغناطیسی به روش بسیار جالبی در کتاب زیر بحث شده است

R P Feynman, R B Leighton and M Sands, *The Feynman Lectures on Physics*, Vol III, Addison-Wesley, Reading, Mass, 1965.

برای بحث مفصلی درباره آزمایشهای که اثر آهارانوف-بوهم را بدون ابهام اثبات می‌کنند، و برای یک بحث عالی درباره نظریه مربوط مراجعه کنید به

M Peshkin and A Tonomura, *The Aharonov-Bohm Effect*, Lecture Notes in Physics, Vol 340, Springer-Verlag, Berlin/ New York, 1989.

۱۴

عملگرها، ماتریسها، و اسپین

نمایش ماتریسی عملگرهای نوسانگر هماهنگ

بررسی صحیح اتها بدون در نظر گرفتن اسپین الکترون غیرممکن است. این ویژگی الکترونها مانسته کلاسیک ندارد، و چنانکه بهزودی خواهیم دید باید آن را به روش‌های نسبتاً مجرد بررسی کنیم. خوشبختانه برای کنار گذاشتن توصیف وابسته به فضای مختصات تا حدی آمادگی داریم، زیرا نوسانگر هماهنگ (فصل ۷) و مسئله ویژه‌مقداری تکانه زاویه‌ای

$$\begin{aligned} \mathbf{L}^\gamma Y_{lm} &= \hbar^\gamma l(l+1)Y_{lm} \\ L_z Y_{lm} &= \hbar m Y_{lm} \end{aligned} \quad (1-14)$$

را با روش‌های عملگری بررسی کردیم. برای نوسانگر هماهنگ دیدیم که حالتها با رابطه زیر تعریف می‌شوند

$$u_n = \frac{1}{(n!)^{1/2}} (A^\dagger)^n u_0 \quad (2-14)$$

که برای آن معادله زیر برقرار است
 $www.arsanjan.blogfa.com$

$$Hu_n = \hbar\omega \left(n + \frac{1}{2} \right) u_n \quad (3-14)$$

و همچنین توانستیم تأثیر عملگرهای افزاینده و کاهنده را بر u_n محاسبه کنیم:

$$A^\dagger u_n = \sqrt{(n+1)} u_{n+1} \quad (4-14)$$

و

$$Au_n = \sqrt{n} u_{n-1} \quad (5-14)$$

همچنین نشان دادیم که

$$\langle u_m | u_n \rangle = \delta_{mn} \quad (6-14)$$

و این حکمی است که می‌توان آن را برای ویژه‌حالت‌های تمام عملگرهای هرمیتی (در اینجا H) برقرار کرد. اگر u_m را در $14-3$ تا $14-5$ ضرب نزدیکی کنیم به دست می‌آوریم

$$\begin{aligned} \langle u_m | Hu_n \rangle &\equiv \langle u_m | H | u_n \rangle = \left(n + \frac{1}{2} \right) \hbar\omega \delta_{mn} \\ \langle u_m | A^\dagger u_n \rangle &\equiv \langle u_m | A^\dagger | u_n \rangle = \sqrt{(n+1)} \delta_{m,n+1} \\ \langle u_m | Au_n \rangle &\equiv \langle u_m | A | u_n \rangle = \sqrt{n} \delta_{m,n-1} \end{aligned} \quad (7-14)$$

که در آنها از نمادنگاری متقارن‌تر زیر استفاده کرده‌ایم

$$\langle u_i | O | u_j \rangle \equiv \langle u_i | Ou_j \rangle \quad (8-14)$$

این کمیتها را می‌توان به صورت آرایه‌هایی که ماتریس نامیده می‌شوند مرتب کرد. در نمادنگاری قراردادی برای عنصر ماتریسی M_{ij} شاخص اول نشان سطر و شاخص دوم نشان ستون آرایه

است. بنابراین، اگر حاصلضرب بندۀ ای $H_{ww} = \langle u_m | H | u_n \rangle$ را با www.arsahanj.blogfa.com نشان دهیم، به دست می‌آوریم

$$H = \hbar\omega \begin{pmatrix} 1/2 & 0 & 0 & 0 & \dots \\ 0 & 3/2 & 0 & 0 & \dots \\ 0 & 0 & 5/2 & 0 & \dots \\ 0 & 0 & 0 & 7/2 & \dots \\ \vdots & \vdots & \vdots & \vdots & \vdots \end{pmatrix} \quad (9-14)$$

به همین ترتیب داریم

$$A^\dagger = \begin{pmatrix} 0 & 0 & 0 & 0 & \dots \\ \sqrt{1} & 0 & 0 & 0 & \dots \\ 0 & \sqrt{2} & 0 & 0 & \dots \\ 0 & 0 & \sqrt{3} & 0 & \dots \\ \vdots & \vdots & \vdots & \vdots & \vdots \end{pmatrix} \quad (10-14)$$

و

$$A = \begin{pmatrix} 0 & \sqrt{1} & 0 & 0 & \dots \\ 0 & 0 & \sqrt{2} & 0 & \dots \\ 0 & 0 & 0 & \sqrt{3} & \dots \\ \vdots & \vdots & \vdots & \vdots & \vdots \end{pmatrix} \quad (11-14)$$

آرایه‌های $\langle u_m | F | u_n \rangle$ در آن F یک عملگر است و $\langle u_i | u_j \rangle$ یک مجموعه کامل تشکیل می‌دهند. نمایش ماتریسی F در پایه متشکل از u_i می‌نامیم. باید نشان دهیم این نامگذاری موجه است. به عنوان مثال، ضرب ماتریسی با رابطه زیر تعریف می‌شود

$$(FG)_{ij} = \sum_n (F)_{in} (G)_{nj} \quad (12-14)$$

و باید این رابطه را برای "نمایش‌های ماتریسی" عملگرهای F و G تحقیق کنیم. برای این کار حالت u_j را در نظر می‌گیریم و با استفاده از کامل بودن مجموعه u_i ‌ها آن را به صورت زیر بسط می‌دهیم

$$Gu_j = \sum_n C_n u_n \quad (13-14)$$

ضرایب C_n با رابطه زیر داده می‌شوند www.arsanjan.blogfa.com

$$C_n = \langle u_n | G | u_j \rangle \quad (14-14)$$

بنابراین،

$$\begin{aligned} \langle u_i | FG | u_j \rangle &= \left\langle u_i | F \left(\sum_n C_n u_n \right) \right\rangle \\ &= \sum_n C_n \langle u_i | F | u_n \rangle \\ &= \sum_n \langle u_i | F | u - N \rangle \langle u_n | G | u_j \rangle \end{aligned} \quad (15-14)$$

که همان ۱۲-۱۴ است به شرط اینکه بنویسیم

$$\langle u_i | F | u_n \rangle = F_{in} \quad (16-14)$$

و غیره. یادآوری می‌کنیم که کاملیت بردارهای پایه $\langle u_n |$ را می‌توان به صورت زیر بیان کرد

$$\sum_n |u_n\rangle \langle u_n| = 1 \quad (17-14)$$

با قرار دادن عملگر واحد ۱۷-۱۴ بین عملگرهای F و G در $\langle u_j | FG | u_i \rangle$ بالا فاصله ۱۶-۱۴ به دست می‌آید.

توجیه دیگر ارتباط ماتریسی از رابطه زیر به دست می‌آید

$$\langle u_m | F | u_n \rangle^* = \langle Fu_n | u_m \rangle = \langle u_n | F^\dagger | u_m \rangle \quad (18-14)$$

که نشان می‌دهد اگر عملگر F را با یک ماتریس نمایش دهیم عملگر همیوغ هرمیتی F^\dagger با ماتریس همیوغ هرمیتی متاظر نمایش داده می‌شود، زیرا F^\dagger با رابطه زیر تعریف می‌شود

$$(F^\dagger)_{mn} = F_{mn}^* \quad (19-14)$$

توجه کنید که در این بحث اشاره‌ای به این واقعیت نکردیم که شروع بررسی ما از ویژه‌حالتهای هامیلتونی نوسانگر هماهنگ بود. تنها چیز خاصی که درباره این ویژه‌حالتهای می‌توان گفت این است که آنها ماتریس نمایشگر H را قطری می‌کنند. با هر مجموعه کاملی، H قطری نیست، و تعیین ویژه‌مقدارهای آن، یعنی عناصر ماتریس وقتی که قطری است، آسان نخواهد بود.

نمایش ماتریسی عملگرهای تکانه زاویه‌ای www.karshenashehri.com

عناصر ماتریس L_z بین حالت‌های مختلف تکانه زاویه‌ای، $\langle l'm'|L_z|lm\rangle$ ، را در نظر بگیرید. قبل از هر چیز، مشاهده می‌کنیم که رابطه

$$[\mathbf{L}^\dagger, L_z] = 0.$$

ایجاب می‌کند که

$$\begin{aligned} 0 &= \langle l'm'|[\mathbf{L}^\dagger, L_z]|lm\rangle \\ &= \langle \mathbf{L}^\dagger l'm' | L_z | lm \rangle - \langle l'm' | L_z | \mathbf{L}^\dagger lm \rangle \quad (20-14) \\ &= \hbar^2 \{l'(l'+1) - l(l+1)\} \langle l'm' | L_z | lm \rangle \end{aligned}$$

از اینجا نتیجه می‌گیریم که اگر $l \neq l'$ ، آنگاه $\langle l'm' | L_z | lm \rangle$ صفر می‌شود. بنابراین، L_z ، تنها بین حالت‌هایی عناصر ماتریسی غیرصفر دارد که اعداد کوانتومی تکانه زاویه‌ای کل آنها یکسان هستند. برای L_\pm نیز همین نتیجه صادق است. بدین ترتیب، اگر l را ثابت نگه داریم، یعنی حالت‌هایی را در نظر بگیریم که برای آنها فقط m تغییر می‌کند، از معادله دوم ۱۴-۱، با یک نمادنگاری فشرده، به دست می‌آوریم

$$\langle lm' | L_z | lm \rangle = \hbar m \delta_{m'm} \quad (21-14)$$

علاوه بر این، از ۱۱-۳۶ و ۱۱-۴۸ به رابطه زیر می‌رسیم

$$\langle lm' | L_\pm | lm \rangle = \hbar [l(l+1) - m(m \pm 1)]^{1/2} \delta_{m'm \pm 1} \quad (22-14)$$

در نتیجه، نمایش‌های ماتریسی زیر را برای عملگرهای تکانه زاویه‌ای $l = l$ به دست می‌آوریم

$$L_z = \hbar \begin{pmatrix} 1 & 0 & 0 \\ 0 & 0 & 0 \\ 0 & 0 & -1 \end{pmatrix} \quad (22-14\text{الف})$$

$$L_+ = \hbar \begin{pmatrix} 0 & \sqrt{2} & 0 \\ 0 & 0 & \sqrt{2} \\ 0 & 0 & 0 \end{pmatrix} \quad (22-14\text{ب})$$

$$L_- = \hbar \begin{pmatrix} \circ & \circ & \circ \\ \sqrt{2} & \circ & \circ \\ \circ & \sqrt{2} & \circ \end{pmatrix} \quad (23-14)$$

سطرها و ستونها به ترتیب از چپ به راست و از بالا به پایین با $m = 1, 0, -1$ نشانگذاری می‌شوند. به سادگی می‌توان دید که برای این ماتریسها رابطه‌های جایه‌جایی برقرارند. برای مثال،

$$\begin{aligned} [L_+, L_-] &= \hbar^2 \begin{pmatrix} \circ & \sqrt{2} & \circ \\ \circ & \circ & \sqrt{2} \\ \circ & \circ & \circ \end{pmatrix} \begin{pmatrix} \circ & \circ & \circ \\ \sqrt{2} & \circ & \circ \\ \circ & \sqrt{2} & \circ \end{pmatrix} - \hbar^2 \begin{pmatrix} \circ & \circ & \circ \\ \sqrt{2} & \circ & \circ \\ \circ & \sqrt{2} & \circ \end{pmatrix} \begin{pmatrix} \circ & \sqrt{2} & \circ \\ \circ & \circ & \sqrt{2} \\ \circ & \circ & \circ \end{pmatrix} \\ &= \hbar^2 \begin{pmatrix} 2 & 0 & 0 \\ 0 & 2 & 0 \\ 0 & 0 & 0 \end{pmatrix} - \hbar^2 \begin{pmatrix} 0 & 0 & 0 \\ 0 & 2 & 0 \\ 0 & 0 & 2 \end{pmatrix} = 2\hbar^2 \begin{pmatrix} 1 & 0 & 0 \\ 0 & 0 & 0 \\ 0 & 0 & -1 \end{pmatrix} = 2\hbar L_z \end{aligned} \quad (24-14)$$

رابطه‌های کلی میان حالتها را نیز می‌توان در نمایش ماتریسی نوشت. به عنوان مثال، رابطه زیر را در نظر بگیرید

$$\psi = A\phi \quad (25-14)$$

یکی از عضوهای مجموعه کامل u_i ‌ها را در این رابطه ضرب نرده‌ای می‌کنیم:

$$\langle u_i | \psi \rangle = \langle u_i | A\phi \rangle \quad (26-14)$$

با قرار دادن عملگر واحد A و ϕ ، به دست می‌آوریم

$$\langle u_i | \psi \rangle = \sum_n \langle u_i | A | u_n \rangle \langle u_n | \phi \rangle \quad (27-14)$$

اگر $\langle u_n | \phi \rangle$ را به صورت ماتریس ستونی زیر بنویسیم

$$\langle u_n | \phi \rangle \rightarrow \begin{pmatrix} \langle u_1 | \phi \rangle \\ \langle u_2 | \phi \rangle \\ \langle u_3 | \phi \rangle \\ \vdots \end{pmatrix} \equiv \begin{pmatrix} \alpha_1 \\ \alpha_2 \\ \alpha_3 \\ \vdots \end{pmatrix} \quad (28-14)$$

$$\langle u_n | \psi \rangle \rightarrow \begin{pmatrix} \langle u_1 | \psi \rangle \\ \langle u_2 | \psi \rangle \\ \langle u_3 | \psi \rangle \\ \vdots \end{pmatrix} \equiv \begin{pmatrix} \beta_1 \\ \beta_2 \\ \beta_3 \\ \vdots \end{pmatrix} \quad (۲۹-۱۴)$$

آنگاه برای نمایش ماتریسی رابطه ۲۵-۱۴ داریم

$$\beta_i = \sum_n A_{in} \alpha_n \quad (۳۰-۱۴)$$

بنابراین، ماتریسهای مربعی معرف عملگرها هستند و ماتریسهای ستونی حالتها را نمایش می‌دهند. حاصلضرب نردهای $\langle \phi | u_n \rangle^* = \langle u_n | \phi \rangle$ را بنای قرارداد به صورت یک ماتریس سطری می‌نویسیم:

$$\langle \phi | u_n \rangle \rightarrow (\alpha_1^*, \alpha_2^*, \alpha_3^*, \dots) \quad (۳۱-۱۴)$$

بدین ترتیب، به عنوان مثال، حاصلضرب نردهای $\langle \phi | \psi \rangle$ را می‌توان به صورت زیر نوشت

$$\begin{aligned} \langle \phi | \psi \rangle &= \sum_n \langle \phi | u_n \rangle \langle u_n | \psi \rangle \\ &= \sum_n \alpha_n^* \beta_n \end{aligned} \quad (۳۲-۱۴)$$

یک معادله ویژه‌مداری مورد خاصی از رابطه ۲۵-۱۴ است:

$$A\phi = a\phi \quad (۳۳-۱۴)$$

که صورت ماتریسی آن عبارت است از

$$\sum_n A_{in} \alpha_n = a \alpha_i \quad (۳۴-۱۴)$$

این رابطه معادل است با www.arsanjan.blogfa.com

$$\begin{pmatrix} A_{11} - \alpha & A_{12} & A_{13} & \dots \\ A_{21} & A_{22} - \alpha & A_{23} & \dots \\ A_{31} & A_{32} & A_{33} - \alpha & \dots \\ \vdots & \vdots & \vdots & \ddots \end{pmatrix} \begin{pmatrix} \alpha_1 \\ \alpha_2 \\ \alpha_3 \\ \vdots \end{pmatrix} = 0 \quad (35-14)$$

معادله بالا تنها وقتی جواب غیرصفر دارد که دترمینان ماتریس صفر شود:

$$\det|A_{nn} - \alpha\delta_{nn}| = 0 \quad (36-14)$$

این راه مناسبی برای باقتن ویژه‌مدارها (ویژه‌بردارها)ی عملگرهایی است که با ماتریس‌های متناهی نمایش داده می‌شوند، اما برای ماتریس‌های نامتناهی متأسفانه چندان ساده نیست.

عملگر اسپین و نمایش ماتریسی آن

واقعاً جای خوبی‌خواستی است که برای نمایش عملگرها راه دیگری، غیر از استفاده از توابع و مشتقات، وجود دارد، زیرا تمام عملگرها را نمی‌توان از این راه نمایش داد. ساده‌ترین مثال در این مورد مربوط به تکانه زاویه‌ای $\theta = 1/2$ است. معادله‌های $51-11$ و $60-11$ نشان می‌دهند که

$$Y_{1/2, \pm 1/2} = C_{\pm} \sqrt{\sin \theta} e^{\pm i\phi/2} \quad (37-14)$$

و با استفاده از $54-11$ می‌توان نوشت

$$L_{-} Y_{1/2, 1/2} \propto \frac{\cos \theta}{\sqrt{\sin \theta}} e^{-i\phi/2} \quad (38-14)$$

اما این نتیجه متناسب با $Y_{1/2, -1/2}$ نیست. بنابراین، گسترش قاعده‌های متدال به $\theta = 1/2$ با مشکل مواجه می‌شود، و در نتیجه از نمایش ماتریسی استفاده می‌کنیم.^۱ به جای $\theta = 1/2$ می‌نویسیم $\theta = 1/2 = s$ ، و حرف r را تها برای تکانه زاویه‌ای مداری وابسته به $p \times r$ به کار می‌بریم. عملگرهای اسپین عبارت‌اند از S_x ، S_y و S_z که با رابطه‌های جابه‌جایی مربوط به مؤلفه‌های تکانه‌های زاویه‌ای تعریف می‌شوند:

$$[S_x, S_y] = i\hbar S_z \quad (39-14)$$

۱. نشان داده شده است که $Y_{1/2, \pm 1/2}$ به جریان احتمال از یک قطب کره ($\theta = 0^\circ$) به قطب دیگر ($\phi = \theta$) منجر می‌شود، به طوری که دو قطب به ترتیب به عنوان چشم‌ها و چاهک‌های احتمال عمل می‌کنند.

و غیره. عملگرهای اسپین $\frac{1}{2}$ می‌شوند. از ۲۱-۱۴ به دست می‌آوریم

$$S_z = \hbar \begin{pmatrix} 1/2 & 0 \\ 0 & -1/2 \end{pmatrix} \quad (40-14)$$

و از ۲۲-۱۴ داریم

$$S_+ = \hbar \begin{pmatrix} 0 & 1 \\ 0 & 0 \end{pmatrix} \quad S_- = \hbar \begin{pmatrix} 0 & 0 \\ 1 & 0 \end{pmatrix} \quad (41-14)$$

این نمایش را می‌توان به صورت زیر نوشت

$$S = \frac{1}{\sqrt{2}} \hbar \sigma \quad (42-14)$$

که در آن مؤلفه‌های

$$\sigma_x = \begin{pmatrix} 0 & 1 \\ 1 & 0 \end{pmatrix} \quad \sigma_y = \begin{pmatrix} 0 & -i \\ i & 0 \end{pmatrix} \quad \sigma_z = \begin{pmatrix} 1 & 0 \\ 0 & -1 \end{pmatrix} \quad (43-14)$$

ماتریسهای پاؤلی هستند. این ماتریسهای در رابطه‌های جابه‌جایی زیر صدق می‌کنند

$$[\sigma_x, \sigma_y] = 2i\sigma_z \quad (44-14)$$

و غیره، و همچنین برای آنها داریم

$$\sigma_x^* = \sigma_y^* = \sigma_z^* = \begin{pmatrix} 1 & 0 \\ 0 & 1 \end{pmatrix} \equiv 1 \quad (45-14)$$

ماتریسهای پاؤلی پاد جابه‌جاشونده هستند، به این معنی که

$$\sigma_x \sigma_y = -\sigma_y \sigma_x$$

$$\sigma_z \sigma_x = -\sigma_x \sigma_z \quad (46-14)$$

$$\sigma_y \sigma_z = -\sigma_z \sigma_y$$

این رابطه‌ها به نمایش‌های اسپین arsahjan.blogfa.com ماتریس‌های $1 = l$ صادق نیستند.

ویژه‌حالتهای S_z با بردار ستوانی دو مؤلفه‌ای، که آن را اسپینور می‌نامند، نمایش داده می‌شوند. برای به دست آوردن این ویژه‌اسپینورها، معادله ویژه‌مقداری زیر را حل می‌کنیم

$$S_z \begin{pmatrix} u \\ v \end{pmatrix} = \pm \frac{1}{\sqrt{2}} h \begin{pmatrix} u \\ v \end{pmatrix} \quad (47-14)$$

یا

$$\begin{pmatrix} 1 & 0 \\ 0 & -1 \end{pmatrix} \begin{pmatrix} u \\ v \end{pmatrix} = \pm \begin{pmatrix} u \\ v \end{pmatrix}$$

بنابراین،

$$\begin{pmatrix} u \\ -v \end{pmatrix} = \pm \begin{pmatrix} u \\ v \end{pmatrix} \quad (48-14)$$

برای ویژه‌جواب با علامت به علاوه داریم $u = v$ ، و برای ویژه‌جواب با علامت منها $u = -v$. بنابراین، می‌نویسیم

$$\chi_+ = \begin{pmatrix} 1 \\ 0 \end{pmatrix} \quad \chi_- = \begin{pmatrix} 0 \\ 1 \end{pmatrix} \quad (49-14)$$

+ ویژه‌اسپینور مربوط به اسپین بالا $[S_z = +(\frac{1}{2})h]$ و - ویژه‌اسپین پایین $[S_z = -(\frac{1}{2})h]$ است.

یک اسپینور اختیاری را می‌توان برحسب این مجموعه کامل بسط داد:

$$\begin{pmatrix} \alpha_+ \\ \alpha_- \end{pmatrix} = \alpha_+ \begin{pmatrix} 1 \\ 0 \end{pmatrix} + \alpha_- \begin{pmatrix} 0 \\ 1 \end{pmatrix} \quad (50-14)$$

بنابراین قضیه بسط، اگر اسپینور درست بهنجار شده باشد به طوری که

$$|\alpha_+|^2 + |\alpha_-|^2 = 1 \quad (51-14)$$

آنگاه $|\alpha_+|^2$ و $|\alpha_-|^2$ احتمال www.sarsanjan.blogfa.com حالت $(\begin{smallmatrix} \alpha_+ \\ \alpha_- \end{smallmatrix})$ به ترتیب مقادیر $(1/2)\hbar$ و $(1/2)\hbar$ - به دست آیند.

لازم نیست که S_z را قطری نگه داریم. برای تعیین ویژه‌حالتهای ϕ باید معادله زیر را حل کنیم

$$(S_x \cos \phi + S_y \sin \phi) \begin{pmatrix} u \\ v \end{pmatrix} = \frac{1}{2}\hbar\lambda \begin{pmatrix} u \\ v \end{pmatrix} \quad (52-14)$$

یا

$$\begin{pmatrix} 0 & \cos \phi - i \sin \phi \\ \cos \phi + i \sin \phi & 0 \end{pmatrix} \begin{pmatrix} u \\ v \end{pmatrix} = \lambda \begin{pmatrix} u \\ v \end{pmatrix}$$

که ایجاب می‌کند

$$\begin{aligned} v e^{-i\phi} &= \lambda u \\ u e^{i\phi} &= \lambda v \end{aligned} \quad (53-14)$$

از ضرب طرفهای راست و همچنین طرفهای چپ این دو معادله در یکدیگر به دست می‌آوریم

$$uv(\lambda^2 - 1) = 0 \quad (54-14)$$

بنابراین،

$$\lambda = \pm 1 \quad (55-14)$$

ویژه‌بردار مربوط به $\lambda = 1$ در رابطه زیر صدق می‌کند

$$v = e^{i\phi} u$$

و در نتیجه صورت بهنجارشده عبارت است از

$$\frac{1}{\sqrt{2}} \begin{pmatrix} 1 \\ e^{i\phi} \end{pmatrix}$$

با استفاده از این واقعیت که $\langle \alpha | S | \alpha \rangle = \frac{1}{\sqrt{2}} e^{-i\phi/2}$ فاز اختیاری ضرب کرد، از ضرب بردار بالا در $e^{-i\phi/2}$ بدست می‌آوریم

$$u_+ = \frac{1}{\sqrt{2}} \begin{pmatrix} e^{-i\phi/2} \\ e^{i\phi/2} \end{pmatrix} \quad (56-14)$$

و به همین ترتیب، ویژه حالت مربوط به $-\lambda$ را می‌توان به صورت زیر نوشت

$$u_- = \frac{1}{\sqrt{2}} \begin{pmatrix} e^{-i\phi/2} \\ -e^{i\phi/2} \end{pmatrix} \quad (57-14)$$

به سادگی می‌توان دید که $u_-^\dagger u_+$ و $u_+^\dagger u_-$ عمودند:

$$u_+^\dagger u_- = \frac{1}{2} (e^{i\phi/2}, e^{-i\phi/2}) \begin{pmatrix} e^{-i\phi/2} \\ -e^{i\phi/2} \end{pmatrix} = 0 \quad (58-14)$$

جالب توجه است که اگر ϕ را به $2\pi + \phi$ تغییر دهیم جوابها تغییر علامت می‌دهند. این نتیجه مشخصه توابع موج اسپین نیم‌فرد (حالت‌های فرمیون) است، و مغایرتی با مکانیک کوانتومی ندارد، زیرا $-\lambda$ تنها یک ضریب فاز است، اما نشان می‌دهد هیچ بسته موج ماکروسکوپیک کلاسیکی را نمی‌توان ساخت که دارای تکانه زاویه‌ای نیم‌فرد باشد.

برای یک حالت اختیاری مانند α ، می‌توان مقدار انتظاری S را محاسبه کرد:

$$\langle \alpha | S | \alpha \rangle = \sum_i \sum_j \langle \alpha | i \rangle \langle i | S | j \rangle \langle j | \alpha \rangle$$

که معادل است با

$$(\alpha_+^+, \alpha_-^+) S \begin{pmatrix} \alpha_+ \\ \alpha_- \end{pmatrix}$$

$$\begin{aligned}
 \langle S_x \rangle &= (\alpha_+^*, \alpha_-^*) \frac{1}{\sqrt{2}} \hbar \begin{pmatrix} 0 & 1 \\ 1 & 0 \end{pmatrix} \begin{pmatrix} \alpha_+ \\ \alpha_- \end{pmatrix} \\
 &= \frac{1}{\sqrt{2}} \hbar (\alpha_+^*, \alpha_-^*) \begin{pmatrix} \alpha_- \\ \alpha_+ \end{pmatrix} = \frac{1}{\sqrt{2}} \hbar (\alpha_+^* \alpha_- + \alpha_-^* \alpha_+) \\
 \langle S_y \rangle &= (\alpha_+^*, \alpha_-^*) \frac{1}{\sqrt{2}} \hbar \begin{pmatrix} 0 & -i \\ i & 0 \end{pmatrix} \begin{pmatrix} \alpha_+ \\ \alpha_- \end{pmatrix} \\
 &= \frac{1}{\sqrt{2}} \hbar (\alpha_+^*, \alpha_-^*) \begin{pmatrix} -i \alpha_- \\ i \alpha_+ \end{pmatrix} = -\frac{i \hbar}{\sqrt{2}} (\alpha_+^* \alpha_- - \alpha_-^* \alpha_+) \\
 &= (\alpha_+^*, \alpha_-^*) \frac{1}{\sqrt{2}} \hbar \langle S_z \rangle \begin{pmatrix} 1 & 0 \\ 0 & -1 \end{pmatrix} \begin{pmatrix} \alpha_+ \\ \alpha_- \end{pmatrix} \\
 &= \frac{1}{\sqrt{2}} \hbar (|\alpha_+^*|, |\alpha_-^*|) \begin{pmatrix} \alpha_+ \\ -\alpha_- \end{pmatrix} = \frac{1}{\sqrt{2}} \hbar (|\alpha_+|^2 - |\alpha_-|^2)
 \end{aligned} \tag{۵۹-۱۴}$$

توجه کنید که تمام اینها، همان‌طور که برای عملگرهای هرمیتی انتظار می‌رود، حقیقی هستند.

گشتاور مغناطیسی ذاتی ذرات اسپین ۱/۲

بعداً خواهیم دید که اسپین الکترون مثلاً در هامیلتونی اتم هیدروژن به صورت جفت شده با تکانه زاویه‌ای مداری ظاهر می‌شود. وقی الکترون، به عنوان مثال، در یک جایگاه شبکه بلور جایگزینه باشد اغلب می‌توان اسپین را تنها درجه آزادی الکترون در نظر گرفت. الکترون به واسطه اسپین خود گشتاور دوقطبی مغناطیسی ذاتی دارد، و این گشتاور مغناطیسی^۲ عبارت است از

$$\mathbf{M} = -\frac{eg}{2mc} \mathbf{S} \tag{۶۰-۱۴}$$

۲. یک الکترون "کلاسیک" که با تکانه زاویه‌ای \mathbf{L} روی یک دایره حرکت می‌کند حلقه جریانی تشکیل می‌دهد که گشتاور مغناطیسی آن برابر است با $-\epsilon \mathbf{L} / 2mc = -\mathbf{M}$. چون اسپین یک متغیر صرفاً کوانتوم‌مکانیکی است، ۱۴-۶۰ را تنها از روی شباهت می‌توان موجه دانست. برای توجیه این رابطه به معادله نسبیتی دیراک نیاز داریم، که مقدار $g = 2$ نیز از آن به دست می‌آید. الکترودینامیک کوانتومی تصحیحاتی را برابر $2 = g$ و اعمال می‌کند. جنبه‌های غیرکلاسیک اسپین را کاشفان آن، ساموئل گاتسمیت و گورگ اولنیک، بیان کردۀ‌اند (۱۹۲۵).

که در آن g ، نسبت ژیرومغناطیسی، سیار نزدیک به ۲ است:
www.arsanjan.blogfa.com

$$g = 2 \left(1 + \frac{\alpha}{2\pi} + \dots \right) = 2.0023192 \quad (61-14)$$

m جرم الکترون، و α ثابت ساختار ریز است. برای چنین الکترون جایگزیده‌ای، هامیلتونی در حضور میدان مغناطیسی خارجی تنها انرژی پتانسیل است:

$$H = -\mathbf{M} \cdot \mathbf{B} = \frac{eg\hbar}{4mc} \boldsymbol{\sigma} \cdot \mathbf{B} \quad (62-14)$$

معادله شرودینگر برای حالت $\psi(t) = \begin{pmatrix} \alpha_+(t) \\ \alpha_-(t) \end{pmatrix}$ عبارت است از

$$i\hbar \frac{d\psi(t)}{dt} = \frac{eg\hbar}{4mc} \boldsymbol{\sigma} \cdot \mathbf{B} \psi(t) \quad (63-14)$$

اگر محور z را در راستای \mathbf{B} بگیریم، و بنویسیم

$$\psi(t) = \begin{pmatrix} \alpha_+(t) \\ \alpha_-(t) \end{pmatrix} = e^{-i\omega t} \begin{pmatrix} \alpha_+ \\ \alpha_- \end{pmatrix} \quad (64-14)$$

آنگاه معادله به صورت زیر درمی‌آید

$$\hbar\omega \begin{pmatrix} \alpha_+ \\ \alpha_- \end{pmatrix} = \frac{eg\hbar B}{4mc} \begin{pmatrix} 1 & 0 \\ 0 & -1 \end{pmatrix} \begin{pmatrix} \alpha_+ \\ \alpha_- \end{pmatrix} \quad (65-14)$$

جوابها متناظر با بسامدهای مختلف ω هستند. به ازای $\omega = egB/4mc$ داریم $\begin{pmatrix} \alpha_+ \\ \alpha_- \end{pmatrix} = \begin{pmatrix} 1 \\ 0 \end{pmatrix}$. بنابراین، اگر حالت اولیه به صورت زیر باشد و به ازای $\omega = -(egB/4mc)$ باشد

$$\psi(\circ) = \begin{pmatrix} a \\ b \end{pmatrix} \quad (66-14)$$

آنگاه حالت در یک زمان بعد عبارت خواهد بود از

$$\psi(t) = \begin{pmatrix} a e^{-i\omega t} \\ b e^{i\omega t} \end{pmatrix} \quad \omega = \frac{geB}{4mc} \quad (67-14)$$

فرض کنید در $t = 0$ اسپین کمپانی www.arsamjan.blogfa.com مثبت x قرار دارد. بنابراین،

$$\frac{1}{2} \hbar \begin{pmatrix} 0 & 1 \\ 1 & 0 \end{pmatrix} \begin{pmatrix} a \\ b \end{pmatrix} = \frac{1}{2} \hbar \begin{pmatrix} a \\ b \end{pmatrix}$$

یعنی $(\frac{a}{b}) = (\frac{a}{b})$. بدین ترتیب، در یک زمان بعد داریم

$$\begin{aligned} \langle S_x \rangle &= \frac{1}{2} \hbar \frac{1}{\sqrt{2}} (e^{i\omega t}, e^{-i\omega t}) \begin{pmatrix} 0 & 1 \\ 1 & 0 \end{pmatrix} \frac{1}{\sqrt{2}} \begin{pmatrix} e^{-i\omega t} \\ e^{i\omega t} \end{pmatrix} \\ &= \frac{\hbar}{4} (e^{i\omega t}, e^{-i\omega t}) \begin{pmatrix} e^{i\omega t} \\ e^{-i\omega t} \end{pmatrix} = \frac{\hbar}{2} \cos 2\omega t \end{aligned} \quad (68-14)$$

به همین ترتیب، می‌توان نوشت

$$\begin{aligned} \langle S_y \rangle &= \frac{1}{2} \hbar \frac{1}{\sqrt{2}} (e^{i\omega t}, e^{-i\omega t}) \begin{pmatrix} 0 & -i \\ i & 0 \end{pmatrix} \frac{1}{\sqrt{2}} \begin{pmatrix} e^{-i\omega t} \\ e^{i\omega t} \end{pmatrix} \\ &= \frac{\hbar}{4} (-i e^{i\omega t} + i e^{-i\omega t}) \\ &= \frac{\hbar}{2} \sin 2\omega t \end{aligned} \quad (69-14)$$

بنابراین، اسپین با بسامد زیر، که بسامد سیکلوترون نامیده می‌شود، حول راستای B حرکت تقدیمی دارد

$$2\omega = \frac{egB}{2mc} \approx \frac{eB}{mc} \equiv \omega_c \quad (70-14)$$

اگر اسپین ابتدا در یک راستای اختیاری باشد که با محور \hat{z} زاویه θ می‌سازد این حرکت تقدیمی روی می‌دهد. برای میدان مغناطیسی از مرتبه $10^4 G$ ($10^4 T$) داریم

$$\omega_c = \frac{(4\pi \times 10^{-10} esu)(10^4 G)}{(2 \times 10^{-17} g)(3 \times 10^10 cm/s)} \approx 1.8 \times 10^{11} rad/s$$

که بسامد کاملاً بزرگی است.

تشدید پارامغناطیسی www.arsanjan.blogfa.com

در یک جسم جامد عامل ژیرو-مغناطیسی \mathbf{B} کترون به ماهیت نیروهای فعال در این جسم بستگی دارد. دانستن و قبود بسیار مفیدی در این باره که این نیروها چگونه می‌توانند باشند بدست می‌دهد و از این رو اندازه‌گیری و اهمیت پیدا می‌کند. این اندازه‌گیری را می‌توان با روش تشید پارامغناطیسی انجام داد. اصول این روش را در اینجا بیان می‌کنیم: یک میدان مغناطیسی در راستای \hat{z} داریم و اسپین کترون حول این راستا دارای حرکت تقدیمی است. سرعت این حرکت چقدر است؟ اگر بتوان یک میدان مغناطیسی اعمال کرد که بر محور \hat{z} عمود باشد و با اسپین بچرخد آنگاه این میدان باید اسپین کترون را ساکن "بینند". مؤلفه اسپین کترون که موازی با صفحه xy است ترجیحاً در جهت مخالف میدان مغناطیسی قرار می‌گیرد تا حالت کمترین انرژی بدست آید. برای الکترونها یک قبلاً در این راستای کمترین انرژی قرار ندارند گذار به کمترین انرژی روی می‌دهد، و در این فرایند انرژی به صورت تابش آزاد می‌شود. این تابش را باید بتوان آشکارسازی کرد. ایجاد میدان مغناطیسی که با سامدی از مرتبه 10^{11} رادیان بر ثانیه بچرخد عملی نیست. اما اگر یک میدان مغناطیسی در راستایی مانند \hat{z} داشته باشیم که با سامد ω نوسان کند، می‌توانیم آن را برهمنهشی از یک میدان چرخان ساعتگرد با سامد ω و یک میدان چرخان پاد ساعتگرد با همان سامد در صفحه xy در نظر بگیریم و فاز را چنان تنظیم کنیم که میدان برایند در راستای \hat{z} باشد. (این کار مانسته به دست آوردن قطبش خطی از جمع دو قطبش دایره‌ای است). تنها یکی از مؤلفه‌ها در همان جهت حرکت تقدیمی اسپین حرکت می‌کند. حرکت مؤلفه دیگر در جهت مخالف حرکت تقدیمی اسپین خواهد بود و میانگین تأثیر آن روی اسپین کترون صفر است. الکترونی را در نظر بگیرید که درجه‌های آزادی آن تنها حالت‌های اسپینی هستند، و تحت تأثیر میدان مغناطیسی بزرگ و ثابت B در جهت \hat{z} و میدان مغناطیسی کوچک و نوسانی $B_1 \cos \omega t$ در راستای \hat{x} . قرار دارد. در اینجا معادله شرودینگر عبارت است از

$$ih \frac{d}{dt} \begin{pmatrix} a(t) \\ b(t) \end{pmatrix} = \frac{egh}{\gamma mc} \begin{pmatrix} B_0 & B_1 \cos \omega t \\ B_1 \cos \omega t & -B_0 \end{pmatrix} \begin{pmatrix} a(t) \\ b(t) \end{pmatrix} \quad (71-14)$$

بنابراین، با

$$\omega_0 = \frac{egB_0}{\gamma mc} = \frac{1}{2}\omega_c \quad \omega_1 = \frac{egB_1}{\gamma mc} \quad (72-14)$$

داریم

$$\begin{aligned} i \frac{da(t)}{dt} &= \omega_0 a(t) + \omega_1 \cos \omega t b(t) \\ i \frac{db(t)}{dt} &= \omega_1 \cos \omega t a(t) - \omega_0 b(t) \end{aligned} \quad (73-14)$$

$$\begin{aligned} A(t) &= a(t)e^{i\omega_0 t} \\ B(t) &= b(t)e^{-i\omega_0 t} \end{aligned} \quad (74-14)$$

این توابع در معادله‌های زیر صدق می‌کنند

$$\begin{aligned} i \frac{dA(t)}{dt} &= \omega_1 \cos \omega t B(t) e^{i\omega_0 t} \\ &\approx \frac{1}{\sqrt{2}} \omega_1 e^{i(\omega_0 - \omega)t} B(t) \\ i \frac{dB(t)}{dt} &= \omega_1 \cos \omega t A(t) e^{-i\omega_0 t} \\ &\approx \frac{1}{\sqrt{2}} \omega_1 e^{-i(\omega_0 - \omega)t} A(t) \end{aligned} \quad (75-14)$$

که در آنها از تقریب زیر استفاده کرده‌ایم

$$\begin{aligned} \cos \omega t e^{i\omega_0 t} &= \frac{1}{2} [e^{i(\omega_0 + \omega)t} + e^{i(\omega_0 - \omega)t}] \\ &\approx \frac{1}{2} e^{i(\omega_0 - \omega)t} \end{aligned}$$

چون با مقادیر $\omega_c = \omega$ سروکار داریم و هر دو بزرگ هستند، جمله‌ای را که بسیار سریع نوسان می‌کند حذف کرده‌ایم زیرا انتظار داریم میانگین سهم آن صفر باشد. یک بررسی مفصلتر این نتیجه‌گیری را تأیید می‌کند. می‌توان $B(t)$ را بر حسب $dA(t)/dt$ تعیین کرد:

$$B(t) = \frac{2i}{\omega_1} \frac{dA(t)}{dt} e^{-i(\omega_0 - \omega)t} \quad (76-14)$$

و با استفاده از این رابطه یک معادله دیفرانسیل مرتبه دوم برای $A(t)$ به دست می‌آید:

$$\frac{d^2 A(t)}{dt^2} - i(\omega_c - \omega) \frac{dA(t)}{dt} + \frac{\omega_1^2}{4} A(t) = 0 \quad (77-14)$$

برای این معادله جوابی به صورت زیر در نظر می‌گیریم

$$A(t) = A(0) e^{i\lambda t} \quad (78-14)$$

با جاگذاری در ۱۴-۷۷ به مدل زیر را در نظر بگیرید:

$$-\lambda^2 + (\omega_c - \omega)\lambda + \frac{\omega_1^2}{4} = 0$$

که ریشه‌های آن مقادیر λ را تعیین می‌کنند:

$$\lambda_{\pm} = \frac{\omega_c - \omega \pm \sqrt{(\omega_c - \omega)^2 + \omega_1^2}}{2} \quad (۷۹-۱۴)$$

جواب عمومی عبارت است از

$$A(t) = A_+ e^{i\lambda_+ t} + A_- e^{i\lambda_- t} \quad (۸۰-۱۴)$$

و در نتیجه

$$B(t) = -\frac{1}{\omega_1} e^{-i(\omega_c - \omega)t} (\lambda_+ A_+ e^{i\lambda_+ t} + \lambda_- A_- e^{i\lambda_- t}) \quad (۸۱-۱۴)$$

سرانجام به دست می‌آوریم

$$a(t) = e^{-i\omega_c t / 2} (A_+ e^{i\lambda_+ t} + A_- e^{i\lambda_- t})$$

$$b(t) = -\frac{1}{\omega_1} e^{-i(\omega_c / 2 - \omega)t} (\lambda_+ A_+ e^{i\lambda_+ t} + \lambda_- A_- e^{i\lambda_- t}) \quad (۸۲-۱۴)$$

اگر در $t = 0$ اسپین الکترون در جهت مثبت محور z باشد آنگاه $a(0) = 1$ و $b(0) = 0$ ، یعنی

$$A_+ + A_- = 1$$

$$\lambda_+ A_+ + \lambda_- A_- = 0$$

و در نتیجه

$$A_+ = \frac{\lambda_-}{\lambda_- - \lambda_+}$$

$$A_- = -\frac{\lambda_+}{\lambda_- - \lambda_+} \quad (۸۳-۱۴)$$

احتمال اینکه در یک زمان t میان a و b از $\omega_{\text{ارسانج}} \approx 10 \text{ rad/s}$ باشد برابر است با $|b(t)|^2$:

$$\begin{aligned} |b(t)|^2 &= \frac{\omega_1^2}{\omega_1^2} \left| \frac{\lambda_+ + \lambda_-}{\lambda_- - \lambda_+} e^{i(\lambda_+ + \lambda_-)t} - \frac{\lambda_+ - \lambda_-}{\lambda_- - \lambda_+} e^{i(\lambda_+ - \lambda_-)t} \right|^2 \\ &= \frac{\omega_1^2 / 4}{(\omega_c - \omega)^2 + \omega_1^2} \left| 1 - e^{-i(\lambda_+ - \lambda_-)t} \right|^2 \\ &= \frac{\omega_1^2}{(\omega_c - \omega)^2 + \omega_1^2} \frac{1 - \cos \sqrt{(\omega_c - \omega)^2 + \omega_1^2} t}{2} \end{aligned} \quad (84-14)$$

این کمیت کوچک است، زیرا $\omega_c \gg \omega$. اگر میدان B_1 را به گونه‌ای "تنظیم" کنیم که با ω_c جور شود آنگاه احتمال به صورت زیر درمی‌آید

$$|b(t)|^2 \rightarrow \frac{1 - \cos \omega_1 t}{2} \quad (85-14)$$

یعنی به ۱ نزدیک می‌شود. چون انرژی حالت "بالا" با انرژی حالت "پایین" تفاوت دارد، این اختلاف انرژی که از میدان خارجی جذب می‌شود بسامد تشیدی را مشخص می‌کند، و در نتیجه ω_c و از روی آن w را می‌توان با دقت زیاد اندازه‌گیری کرد.

مسائل

۱-۱۴۰-۱ اگر بردار حالت پایه برای یک نوسانگر هماهنگ به صورت زیر باشد

$$u_0 = \begin{pmatrix} 1 \\ \vdots \\ 0 \\ \vdots \end{pmatrix}$$

u_1 و u_2 را با استفاده از ۲-۱۴ و ۱۰-۱۴ محاسبه کنید. طرح کلی چیست؟ نشان دهید

$$\langle u_m | u_n \rangle = \delta_{mn}$$

$$\psi = \frac{1}{\sqrt{6}} \begin{pmatrix} 1 \\ 2 \\ 1 \\ 0 \\ \vdots \end{pmatrix}$$

کمیتهای زیر را با استفاده از عملگرهای نوسانگر هماهنگ ۹-۱۴، ۱۰-۱۴ و ۱۱-۱۴ محاسبه کنید
الف) $\langle H \rangle$.

ب) $\langle p \rangle$ و $\langle p^2 \rangle$.

ج) Δp و Δx .

[تذکر: رابطه‌های p و x بر حسب A و A^\dagger را می‌توانید از ۷-۴ به دست آورید.]
۳-۱۴ عناصر چهار سطر و چهار ستون اول نمایش ماتریسی x^4 را برای نوسانگر هماهنگ محاسبه کنید.

۴-۱۴ با استفاده از ۲۱-۴ و ۲۲-۱۴، نمایش ماتریسی L_x ، L_y و L_z را برای تکانه زاویه‌ای $2/2$ به دست آورید. وارسی کنید که رابطه‌های جایه‌جایی

$$[L_x, L_y] = i\hbar L_z$$

و عیله برقرارند.

۵-۱۴ ویژه مقدارهای هامیلیتونی

$$H = \frac{1}{2I_1}L_x^2 + \frac{1}{2I_2}L_y^2 + \frac{1}{2I_3}L_z^2$$

را با (الف) تکانه زاویه‌ای ۱، و (ب) تکانه زاویه‌ای ۲ به دست آورید.

[تذکر: برای تکانه زاویه‌ای ۲، نمایش ماتریسی L_z عبارت است از

$$L_z = \hbar \begin{pmatrix} 2 & 0 & 0 & 0 & 0 \\ 0 & 1 & 0 & 0 & 0 \\ 0 & 0 & 0 & 0 & 0 \\ 0 & 0 & 0 & -1 & 0 \\ 0 & 0 & 0 & 0 & -2 \end{pmatrix}$$

$$L_+ = \hbar \begin{pmatrix} 0 & 2 & 0 & 0 & 0 \\ 0 & 0 & \sqrt{6} & 0 & 0 \\ 0 & 0 & 0 & \sqrt{6} & 0 \\ 0 & 0 & 0 & 0 & 2 \\ 0 & 0 & 0 & 0 & 0 \end{pmatrix} \quad L_- = (L_+)^{\dagger}$$

به دست آورد.

۷-۱۴-۶ ویژه‌مقدارهای ماتریس زیر را محاسبه کنید ✓

$$H = \begin{pmatrix} 8 & 4 & 6 \\ 4 & 14 & 4 \\ 6 & 4 & 8 \end{pmatrix}$$

۷-۱۴-۷ دستگاهی با اسپین $1/2$ در نظر بگیرید که بردار حالت بهنجارشده آن عبارت است از و ویژه‌بردارهای آن را به دست آورید ✓

$$\begin{pmatrix} \cos \alpha \\ \sin \alpha e^{i\beta} \end{pmatrix}$$

۸-۱۴-۸ نشان دهید که برای حالت تکانه زاویه‌ای $\mathbf{L} \cdot \mathbf{n}$ ، که در آن \mathbf{n} یک بردار یکه اختیاری است، در معادله چندجمله‌ای زیر صدق می‌کنند

$$\sum \alpha_k (\mathbf{L} \cdot \mathbf{n})^k = 0$$

شکل این چندجمله‌ای را به چه صورت است؟ آیا می‌توان این معادله را به هر تکانه زاویه‌ای اختیاری تعمیم داد؟

۹-۱۴ برای تکانه زاویه‌ای θ ، چنانکه در فصل ۱۰ گفته شد، می‌توان از $Y_{lm}(\theta, \phi)$ به عنوان ویژه‌حالات و از عملگرهای دیفرانسیلی برای نمایش \mathbf{L} استفاده کرد. با محاسبه

$$\int \sin \theta d\theta d\phi Y_{lk}^*(\theta, \phi) L_+ Y_{lm}(\theta, \phi)$$

و مقایسه آن با عنصر ماتریسی L_x (یکسان بودن نتایج را نشان دهد).
 ۱۰-۱۴ دستگاهی با تکانه زاویه‌ای θ با بردار حالت زیر نمایش داده می‌شود

$$u = \frac{1}{\sqrt{26}} \begin{pmatrix} 1 \\ 4 \\ -3 \end{pmatrix}$$

احتمال اینکه از اندازه‌گیری L_x مقدار θ به دست آید چقدر است؟

۱۱-۱۴ ویژه‌تابعها و ویژه‌مقدارهای عملگر $L_x L_y + L_y L_x$ را برای دستگاهی با تکانه زاویه‌ای θ به دست آورید.

۱۲-۱۴ دستگاهی با اسپین $1/2$ را در نظر بگیرید. ویژه‌مقدارها و ویژه‌بردارهای عملگر $S_x + S_y$ را به دست آورید. فرض کنید این عملگر را اندازه‌گیری کرده‌ایم و دستگاه را در حالت مربوط به ویژه‌مقدار بزرگتر یافته‌ایم. احتمال این را محاسبه کنید که از اندازه‌گیری S_z مقدار $h/2$ به دست آید.

۱۳-۱۴ معادله آهنگ تغییر یک عملگر در نمایش هایزنبرگ با 62.7 داده می‌شود. اگر هامیلتونی
به صورت زیر باشد

$$H = \frac{eg}{mc} \mathbf{S}(t) \cdot \mathbf{B}$$

و رابطه‌های جابه‌جایی $[S_x(t), S_y(t)] = i\hbar S_z(t)$ و غیره برقرار باشند، معادله‌های حرکت عملگرهای $(S_x(t), S_y(t), \dots)$ را به دست آورید. اگر $(\theta, B) = (\phi, \psi, \Omega)$ را بر حسب (ϕ, ψ) تعیین کنید.

۱۴-۱۴ جسمی با اسپین $1/2$ در زمان $t = 0$ در یک ویژه‌حالت S_x با ویژه‌مقدار $h/2$ است. در این زمان آنرا در میدان مغناطیسی $B = (\phi, \psi, \Omega)$ قرار می‌دهیم و می‌گذاریم برای مدت زمان T به حرکت تقدیمی انجام دهد. در این لحظه میدان را به سرعت به جهت ψ می‌چرخانیم، و در نتیجه مولفه‌های آن به صورت $(B_x, B_y, B_z) = (B_x(\theta), B_y(\theta), B_z(\theta))$ در می‌آیند. پس از یک بازه زمانی دیگر S_x, S_y, S_z اندازه می‌گیریم. احتمال اینکه مقدار $h/2$ به دست آید چقدر است؟

۱۵-۱۴ رفتار ذره‌ای با اسپین 1 را در میدان مغناطیسی خارجی بررسی کنید. فرض کنید به صورت $B = (\phi, \psi, \Omega)$ است و حالت اولیه را یک ویژه‌حالت عملگر زیر به ترتیب با ویژه‌مقدارهای $h, -h, 0$ بگیرید.

$$\mathbf{S} \cdot \mathbf{n} = S_x \sin \theta \cos \phi + S_y \sin \theta \sin \phi + S_z \cos \theta$$

[راهنمایی: از نمایش‌های ماتریسی ۱۴-۲۳ استفاده کنید.]

۱۶-۱۴ انرژی الکترونی به جرم m در میدان مغناطیسی $B = kB$ ، با تکانه صفر در راستای z ،

با رابطه زير داده مي شود

www.arsanjan.blogfa.com

$$E = \frac{eB\hbar}{2\mu c} (2n + 1 + |m| + m) \quad \text{با} \quad m = 0, \pm 1, \pm 2, \pm 3, \dots$$

- (الف) با توجه به اينکه الکترون دارای اسپین $1/2$ است، رابطه انرژی بهجه صورت در می آيد؟
- (ب) طيف انرژی را با در نظر گرفتن اثر اسپین برای چهار حالت اول انرژی ترسیم کنید. برای هر یک از ترازهایی که ترسیم می کنید، مقادیر کوانتموی مردبوط به آن انرژی الکترون، یعنی n و m و S_z ، را دقیقاً بنویسید.

مراجع

مباحث مردبوط به اسپین را می توان در تمام کتابهایی که در آخر این کتاب معرفی کرده ایم یافت.

۱۵

جمع تکانه‌های زاویه‌ای

جمع دو اسپین

فرض کنید دو الکترون داریم که اسپینهای آنها با عملگرها S_1 و S_2 توصیف می‌شوند. هر یک از این دو مجموعه عملگرها در رابطه‌های جابه‌جایی مشخصه تکانه‌های زاویه‌ای صدق می‌کنند:

$$[S_{1x}, S_{1y}] = i\hbar S_{1z}$$

و غیره، و

$$[S_{2x}, S_{2y}] = i\hbar S_{2z} \quad (1-15)$$

و غیره، اما دو مجموعه عملگر با یکدیگر جابه‌جا می‌شوند زیرا درجه‌های آزادی مربوط به ذرات مختلف مستقل از یکدیگرند، یعنی

$$[S_1, S_2] = 0 \quad (2-15)$$

اکنون اسپین کل را با رابطه www.arsanjar.blogfa.com

$$\mathbf{S} = \mathbf{S}_1 + \mathbf{S}_2 \quad (3-15)$$

رابطه‌های جابه‌جایی حاکم بر مؤلفه‌های \mathbf{S} عبارت‌اند از

$$\begin{aligned} [S_x, S_y] &= [S_{1x} + S_{2x}, S_{1y} + S_{2y}] \\ &= [S_{1x}, S_{1y}] + [S_{2x}, S_{2y}] \quad (4-15) \\ &= i\hbar(S_{1z} + S_{2z}) = i\hbar S_z \end{aligned}$$

و غیره. بنابراین، اینکه \mathbf{S} را اسپین کل گفتیم موجه است. اکنون می‌خواهیم ویژه‌مقدارها و ویژه‌تابعه‌ای S_z را تعیین کنیم. دستگاه دو اسپینی عملأً چهار حالت دارد. اگر اسپینورهای الکترون اول را با $\chi_{\pm}^{(1)}$ نشان دهیم، به‌طوری که

$$\begin{aligned} \mathbf{S}_1 \chi_{\pm}^{(1)} &= \frac{1}{2} \left(\frac{1}{2} + 1 \right) \hbar \chi_{\pm}^{(1)} \\ S_{1z} \chi_{\pm}^{(1)} &= \pm \frac{1}{2} \hbar \chi_{\pm}^{(1)} \quad (5-15) \end{aligned}$$

و به‌همین ترتیب اسپینورهای الکترون دوم $\chi_{\pm}^{(2)}$ باشند، این چهار حالت عبارت‌اند از

$$\chi_{+}^{(1)} \chi_{+}^{(2)}, \chi_{+}^{(1)} \chi_{-}^{(2)}, \chi_{-}^{(1)} \chi_{+}^{(2)}, \chi_{-}^{(1)} \chi_{-}^{(2)} \quad (6-15)$$

ویژه‌مقدارهای S_z از رابطه‌های زیر تعیین می‌شود

$$\begin{aligned} S_z \chi_{\pm}^{(1)} \chi_{\pm}^{(2)} &= (S_{1z} + S_{2z}) \chi_{\pm}^{(1)} \chi_{\pm}^{(2)} \\ &= (S_{1z} \chi_{\pm}^{(1)}) \chi_{\pm}^{(2)} + \chi_{\pm}^{(1)} (S_{2z} \chi_{\pm}^{(2)}) \end{aligned}$$

يعنى

$$\begin{aligned} S_z \chi_{+}^{(1)} \chi_{+}^{(2)} &= \hbar \chi_{+}^{(1)} \chi_{+}^{(2)} \\ S_z \chi_{+}^{(1)} \chi_{-}^{(2)} &= S_z \chi_{-}^{(1)} \chi_{+}^{(2)} = 0 \\ S_z \chi_{-}^{(1)} \chi_{-}^{(2)} &= -\hbar \chi_{-}^{(1)} \chi_{-}^{(2)} \quad (7-15) \end{aligned}$$

با ازای $m = 0$ دو حالت داریم که $S_- \chi_+^{(1)} + S_+ \chi_-^{(1)}$ خطی این دو حالت یک حالت $1 = S$ به دست می‌آید که با حالت‌های $1 = m = -1$ یک سه‌تایی تشکیل می‌دهد، و از ترکیب معتمد یک حالت تکتایی $0 = S$ به دست می‌آید. برای تحقیق درستی این پیش‌بینی، عسکر کاہنده زیر را می‌سازیم

$$S_- = S_{1-} + S_{r-} \quad (8-15)$$

و آن را بر حالت $1 = m$ اعمال می‌کنیم. در نتیجه یک حالت $0 = m$ به دست می‌آید که با تقریب یک ضریب به سه‌تایی $1 = S$ تعلق دارد. در واقع، با استفاده از

$$S_-^{(1)} \chi_+^{(1)} = h \chi_-^{(1)} \quad (9-15)$$

که می‌توان آن را با توجه به رابطه زیر اثبات کرد

$$\frac{1}{2} h \left[\begin{pmatrix} 0 & 1 \\ 1 & 0 \end{pmatrix} - i \begin{pmatrix} 0 & -i \\ i & 0 \end{pmatrix} \right] \begin{pmatrix} 1 \\ 0 \end{pmatrix} = h \begin{pmatrix} 0 \\ 1 \end{pmatrix} \quad (10-15)$$

داریم

$$\begin{aligned} S_- \chi_+^{(1)} \chi_+^{(2)} &= (S_1 - \chi_+^{(1)}) \chi_+^{(2)} + \chi_+^{(1)} S_{r-} \chi_+^{(2)} \\ &= h \chi_-^{(1)} \chi_+^{(2)} + h \chi_+^{(1)} \chi_-^{(2)} \\ &= \sqrt{2} h \frac{\chi_+^{(1)} \chi_-^{(2)} + \chi_-^{(1)} \chi_+^{(2)}}{\sqrt{2}} \end{aligned} \quad (11-15)$$

این ترکیب خطی بهنگارشده است، و ضریب جبران‌کننده $\sqrt{2} h$ با آنچه از $36-11$ و $48-11$ به ازای $1 = m = l$ انتظار داریم توافق دارد. با اعمال S_- بر این ترکیب خطی، و با توجه به اینکه

$$S_-^{(i)} \chi_-^{(i)} = 0 \quad (12-15)$$

به دست می‌آوریم

$$\begin{aligned} S_- \frac{\chi_+^{(1)} \chi_-^{(2)} + \chi_-^{(1)} \chi_+^{(2)}}{\sqrt{2}} &= \frac{h}{\sqrt{2}} (\chi_-^{(1)} \chi_-^{(2)} + \chi_-^{(1)} \chi_-^{(2)}) \\ &= \sqrt{2} h \chi_-^{(1)} \chi_-^{(2)} \end{aligned} \quad (13-15)$$

که همان چیزی است که برای arsanjandbogfa.com اثبات شده است آوریم. حالت باقی مانده، که طوری ساخته شده است که با $11-15$ متعامد و درست بهنجارشده باشد، عبارت است از

$$\frac{1}{\sqrt{2}}(\chi_{+}^{(1)}\chi_{-}^{(2)} - \chi_{-}^{(1)}\chi_{+}^{(2)}) \quad (14-15)$$

و چون همتایی ندارد حدس می‌زنیم که یک حالت $S = 0$ باشد. برای وارسی این حدس، S^z را برای دو حالت زیر محاسبه می‌کنیم

$$X_{\pm} = \frac{1}{\sqrt{2}}(\chi_{+}^{(1)}\chi_{-}^{(2)} \pm \chi_{-}^{(1)}\chi_{+}^{(2)}) \quad (15-15)$$

داریم

$$\begin{aligned} S^z &= (S_1 + S_2)^z = S_1^z + S_2^z + 2S_1 \cdot S_2 \\ &= S_1^z + S_2^z + 2S_{1z}S_{2z} + S_{1+}S_{2-} + S_{1-}S_{2+} \end{aligned} \quad (16-15)$$

ابتدا می‌نویسیم

$$\begin{aligned} S_1^z X_{\pm} &= \frac{1}{\sqrt{2}}(\chi_{-}^{(2)}S_1^z\chi_{+}^{(1)} \pm \chi_{+}^{(2)}S_1^z\chi_{-}^{(1)}) \\ &= \frac{\hbar}{4}\hbar^z X_{\pm} \end{aligned} \quad (17-15)$$

و بهمین ترتیب،

$$S_2^z X_{\pm} = \frac{\hbar}{4}\hbar^z X_{\pm} \quad (18-15)$$

سپس، برای جمله سوم $16-15$ داریم

$$2S_{1z}S_{2z}X_{\pm} = 2\left(\frac{1}{2}\hbar\right)\left(-\frac{1}{2}\hbar\right)X_{\pm} = -\frac{1}{2}\hbar^z X_{\pm} \quad (19-15)$$

و سرانجام

$$\begin{aligned} (S_{1+}S_{2-} + S_{1-}S_{2+})X_{\pm} &= \frac{1}{\sqrt{2}}(S_{1+}\chi_{+}^{(1)}S_{2-}\chi_{-}^{(2)} + S_{1-}\chi_{+}^{(1)}S_{2+}\chi_{-}^{(2)} \\ &\quad \pm S_{1+}\chi_{-}^{(1)}S_{2-}\chi_{+}^{(2)} \pm S_{1-}\chi_{-}^{(1)}S_{2+}\chi_{+}^{(2)}) \end{aligned}$$

که با توجه به ۱۵-۹ و $www.arsenjanblogfa.com$ ۱۵-

$$(S_{1+}S_{2-} + S_{1-}S_{2+})X_{\pm} = \pm h^r X_{\pm} \quad (20-15)$$

بنابراین، برای حالتهای \pm متناظر با $S = 1, 0$ ، به دست می‌آوریم

$$\begin{aligned} S^r X_{\pm} &= h^r \left(\frac{3}{4} + \frac{3}{4} - \frac{1}{2} \pm 1 \right) X_{\pm} = \begin{pmatrix} 2 \\ 0 \end{pmatrix} h^r X_{\pm} \\ &= h^r S(S+1) X_{\pm} \end{aligned} \quad (21-15)$$

آنچه نشان داده‌ایم این است که تمام چهار حالت ذرات اسپین $1/2$ را می‌توان به صورت حالتهای اسپین کل سه‌تایی و نکتایی بازترکیب کرد. باید توجه کرد که دو توصیف کاملاً هم‌ارز داریم. در یک مورد، مجموعه کامل مشاهده‌پذیرهای جایه‌جاشونده از $S_1^z, S_2^z, S_1^x, S_2^x$ و S_1^y, S_2^y تشکیل می‌شود. در مورد دیگر، مجموعه کامل مشاهده‌پذیرهای جایه‌جاشونده S_1^z, S_2^z, S_1^x و S_2^x را داریم. بنایه قضیه بسط، هر تابعی را می‌توان بر حسب مجموعه کاملاً از ویژه‌حالتها بسط داد. آنچه در اینجا نشان داده‌ایم بسط ویژه‌حالتهای مجموعه دوم مشاهده‌پذیرها بر حسب مجموعه کامل حالتهای مجموعه اول مشاهده‌پذیرها است. این کاملاً شبیه به نوشتن ویژه‌حالتهای اتم هیدروژن بر حسب ویژه‌حالتهای عملگر تکانه است، که در آن ضرایب بسط (مانسته‌های ضرایب $1/\sqrt{2}$ در اینجا) توابع موج فضای تکانه هستند. به سادگی می‌توان این فرایند را وارونه کرد و حاصل ضربهای $\chi^{(1)} \chi^{(2)}$ را بر حسب ترکیب‌های سه‌تایی و نکتایی به دست آورد.

در مسائل فیزیکی، اغلب اتفاق می‌افتد که در تقریب اول این دو مجموعه مشاهده‌پذیرهای جایه‌جاشونده کامل برای ساختن ویژه‌حالتها به یک اندازه مفید هستند. در تقریب بعد، وقتی جمله‌های اضافی در هامیلتونی به حساب آورده می‌شوند، تنها یکی از این دو مجموعه مفید خواهد بود. یک مثال ساده در فیزیک هسته‌ای کم انرژی پیش می‌آید.

در مطالعات اولیه پتانسیل V که برهم‌کنش میان نوترونها و پروتونها کم انرژی را توصیف می‌کند معلوم شد که شدت برهم‌کنش بستگی به این دارد که دو ذره برهم‌کنش‌کننده در حالت اسپین کل $S = 1$ باشند یا در حالت $S = 0$. به عنوان مثال، برای دوترون $S = 1$ ، در حالی که حالت $S = 0$ برای یک نوترون و یک پروtron حالت مقید نیست. این وضعیت را می‌توان بر حسب یک پتانسیل وابسته به اسپین توصیف کرد. فرض کنید

$$V(r) = V_1(r) + \frac{1}{\hbar^2} S_1 \cdot S_2 V_2(r) \quad (22-15)$$

به سادگی می‌توان دید که S_1 و S_2 با جمله دوم جایه‌جا نمی‌شوند، و در نتیجه ویژه‌حالتهای هامیلتونی حاوی این پتانسیل نمی‌توانند صرفاً حاصل ضربهای ساده‌ای از ویژه‌حالتهای S_1^z و S_2^z

باشد. اما با توجه به اینکه

www.arsanjan.blogfa.com

$$\mathbf{S}_1 \cdot \mathbf{S}_2 = \frac{1}{4} (S_1^z - S_2^z) \quad (23-15)$$

به طوری که می‌توان به جای این جمله، وقتی روی ویژه‌تابع S_1^z ، S_2^z و $S_1^z + S_2^z$ عمل می‌کند، ویژه‌مقدار آن را قرار داد، می‌توانیم بنویسیم

$$\begin{aligned} V(r) &= V_1(r) + \frac{1}{2} V_2(r) \left[S(S+1) - \frac{3}{2} \right] \\ &= V_1(r) + \frac{1}{4} \begin{pmatrix} 1 \\ -2 \end{pmatrix} V_2(r) \begin{cases} S = 1 \\ S = 0 \end{cases} \end{aligned} \quad (24-15)$$

این نوع پتانسیل وابسته به اسپین در واقع در دستگاه نوترون-پروتون مشاهده شده است. حالت مقید یک حالت $S = 1$ است — یعنی همان دوترون است — اما حالت نامقید $S = 0$ نیز وجود دارد. بنابراین، $V_2(3/4) - V_1(1/4)V_2 + (1/4)V_1$ کمتر است. تنها اگر $V_2(r) \neq V_1(r)$ این وضعیت امکان‌پذیر است.

تابع موج تکتایی اسپین ۱۴-۱۵ ایجاد می‌کند که اگر در یک اندازه‌گیری معلوم شد الکترون (۲) حالت اسپین "بالا" است الکترون (۱) باید در حالت اسپین "پایین" باشد. اگرچه الکترون‌ها یکسان هستند می‌توان یک حالت تکتایی در نظر گرفت که در آن الکترون‌ها با تکانه‌های مساوی و مخالف به راست و به چپ حرکت می‌کنند، به طوری که دستگاه دو الکترونی باز هم نسبت به مرکز جرم ساکن است. الکترون (۲) می‌تواند الکترونی باشد که به راست حرکت می‌کند و الکترون (۱) الکترونی که به چپ حرکت می‌کند، و این گفته که الکترون سمت راست در حالت "بالا" است معنای کاملاً معینی دارد.

می‌توان پرسش جالبتری را مطرح کرد. فرض کنید S_x را برای الکترون (۲) اندازه‌گرفته‌ایم و معلوم شده است که ویژه‌مقدار آن $\hbar/2 + h$ است. یعنی الکترون (۲) در امتداد محور x در حالت "بالا" است. اندازه‌گیری S_x برای الکترون (۱) چه نتیجه‌ای به دست خواهد داد؟ چون فاصله دو الکترون از یکدیگر بسیار زیاد است، ممکن است فکر کنیم که هر یک از دو مقدار $\hbar/2 + h$ یا $\hbar/2 - h$ ، و شاید با احتمال یکسان، می‌تواند به دست آید، زیرا اطلاعات مربوط به نتیجه "تصویر" الکترون (۲) بر یک ویژه‌حالت خاص S_x نمی‌تواند با سرعت نامتناهی منتشر شود تا بر اندازه‌گیری روی الکترون (۱) تأثیر بگذارد. این در واقع چیزی است که باید انتظار داشته باشیم اگر بپذیریم که یک نظریه فیزیکی کامل باید دارای معیارهای مشخصی باشد، چنانکه در یک مقاله آلبرت اینشتین، روزن، و پادولسکی بدقت بیان شده است.^۱ از طرف دیگر، بنایه مکانیک کوانتومی دستگاه دو

۱. این موضوع به خوبی در کتاب نظریه کوانتومی دیوید بوهم و اریک دیدگاه جدیدتر، در ارتباط با پژوهش‌های جی

اسپینی با یک تک تابع موج $\psi = \frac{1}{\sqrt{2}}(\chi_+ + \chi_-)$ استه‌اند. اندازه‌گیری روی بخشی از دستگاه، در اینجا S_z برای یکی از الکترونها، همراه با این آگاهی که دستگاه در یک حالت اسپینی تکتایی است، در واقع اندازه‌گیری روی تمام تابع موج است. بنابراین، اگر از اندازه‌گیری S_x برای الکترون (۱) مقدار $h/2$ بدست آید، آنگاه نتیجه اندازه‌گیری S_x برای الکترون (۲) باید $-h/2$ باشد. برای اثبات صوری این نتیجه، توجه کنید که ویژه‌حالتهای χ_{\pm} را می‌توان به ویژه‌حالتهای ξ_{\pm} ، که آنها را با χ_{\pm} نشان می‌دهیم، تجزیه کرد. قبلاً دیدیم (رابطه‌های ۱۴-۵۶ و ۱۴-۵۷) به ازای S_z که

$$\xi_{\pm} = \frac{1}{\sqrt{2}}(\chi_+ \pm \chi_-)$$

با معادل آن

$$\chi_{\pm} = \frac{1}{\sqrt{2}}(\xi_+ \pm \xi_-)$$

با جاگذاری در

$$\psi = \frac{1}{\sqrt{2}}(\chi_+^{(1)} \chi_-^{(2)} - \chi_-^{(1)} \chi_+^{(2)})$$

به دست می‌آوریم

$$\begin{aligned} \psi &= (1/\sqrt{2})^{(2)}[(\xi_+^{(1)} + \xi_-^{(1)})(\xi_+^{(2)} - \xi_-^{(2)}) - (\xi_+^{(1)} - \xi_-^{(1)})(\xi_+^{(2)} + \xi_-^{(2)})] \\ &= \frac{1}{\sqrt{2}}(\xi_+^{(1)} \xi_-^{(2)} - \xi_-^{(1)} \xi_+^{(2)}) \end{aligned} \quad (25-15)$$

که بهروشنی نشان می‌دهد اگر الکترون (۲) در حالت "بالا" باشد آنگاه الکترون (۱) باید در حالت "پایین" باشد.

جمع اسپین $1/2$ و تکانه زاویه‌ای مداری

آنچه در کاربردهای بعدی اهمیت فراوان دارد ترکیب اسپین با تکانه زاویه‌ای مداری است. چون L وابسته به مختصات فضایی است و S نیست، با هم جابه‌جا می‌شوند:

$$[L, S] = 0 \quad (26-15)$$

امن‌بل، در مکانیک کوانتومی نوین ساکورایی بررسی شده است. همچنین مراجعه کنید به سخن آخر در کتاب آشنایی با مکانیک کوانتومی دیوید جی گرفیت.

بنابراین، بدیهی است که مؤلفه J_z زیر تعریف می‌شود

$$\mathbf{J} = \mathbf{L} + \mathbf{S} \quad (27-15)$$

در رابطه‌های جابه‌جایی تکانه‌های زاویه‌ای صدق می‌کنند.
برای یافتن ترکیب‌های خطی Y_{lm} و χ_{\pm} که ویژه‌حالتهای

$$J_z = L_z + S_z \quad (28-15)$$

$$\begin{aligned} \mathbf{J}^{\dagger} &= \mathbf{L}^{\dagger} + \mathbf{S}^{\dagger} + 2\mathbf{L} \cdot \mathbf{S} \\ &= \mathbf{L}^{\dagger} + \mathbf{S}^{\dagger} + 2L_z S_z + L_+ S_- + L_- S_+ \end{aligned} \quad (29-15)$$

هستند، باز هم ضریب‌های بسط یک مجموعه کامل ازویژه‌تابعها را بر حسب مجموعه کامل ویژه‌تابعهای دیگر به دست می‌آوریم

ترکیب خطی زیر را در نظر بگیرید

$$\psi_{j,m+1/2} = \alpha Y_{lm} \chi_+ + \beta Y_{l,m+1} \chi_- \quad (30-15)$$

این ترکیب، بنای ساختارش، یک ویژه‌تابع J_z با ویژه‌مقدار $\hbar(l+1/2)$ است. اکنون α و β را چنان تعیین می‌کنیم که ترکیب بالا ویژه‌تابع J^{\dagger} هم باشد. با استفاده از رابطه‌های

$$\begin{aligned} L_+ Y_{lm} &= [l(l+1) - m(m+1)]^{1/2} \hbar Y_{l,m+1} \\ &= [(l+m+1)(l-m)]^{1/2} \hbar Y_{l,m+1} \\ L_- Y_{lm} &= [(l-m+1)(l+m)]^{1/2} \hbar Y_{l,m-1} \\ S_+ \chi_+ &= S_- \chi_- = 0 \quad S_{\pm} \chi_{\mp} = \hbar \chi_{\pm} \end{aligned} \quad (31-15)$$

می‌نویسیم

$$\begin{aligned} \mathbf{J}^{\dagger} \psi_{j,m+1/2} &= \alpha \hbar^{\dagger} \{ l(l+1) Y_{lm} \chi_+ + \frac{3}{4} Y_{lm} \chi_+ + 2m \left(\frac{1}{2} \right) Y_{lm} \chi_+ \\ &\quad + [(l-m)(l+m+1)]^{1/2} Y_{l,m+1} \chi_- \} + \beta \hbar^{\dagger} \{ l(l+1) Y_{l,m+1} \chi_- \\ &\quad + \frac{3}{4} Y_{l,m+1} \chi_- + 2(m+1) \left(-\frac{1}{2} \right) Y_{l,m+1} \chi_- \\ &\quad + [(l-m)(l+m+1)]^{1/2} Y_{l,m} \chi_+ \} \end{aligned} \quad (32-15)$$

$$\hbar^{\gamma} j(j+1) \psi_{j,m+\frac{1}{2}} = \hbar^{\gamma} j(j+1) (\alpha Y_{lm} \chi_{+} + \beta Y_{l,m+\frac{1}{2}} \chi_{-}) \quad (33-15)$$

است به شرط اینکه

$$\alpha \left[l(l+1) + \frac{3}{4} + m \right] + \beta [(l-m)(l+m+1)]^{1/2} = j(j+1)\alpha \quad (34-15)$$

$$\beta \left[l(l+1) + \frac{3}{4} - m - 1 \right] + \alpha [(l-m)(l+m+1)]^{1/2} = j(j+1)\beta$$

از اینجا به دست می‌آوریم

$$(l-m)(l+m+1) = \left[j(j+1) - l(l+1) - \frac{3}{4} - m \right] \times \left[j(j+1) - l(l+1) - \frac{3}{4} + m + 1 \right]$$

که به‌وضوح دارای دو جواب زیر است

$$j(j+1) - l(l+1) - \frac{3}{4} = \begin{cases} -l-1 \\ l \end{cases} \quad (35-15)$$

يعنى

$$j = \begin{cases} 1 - \frac{1}{2} \\ l + \frac{1}{2} \end{cases} \quad (36-15)$$

به‌ازای $1/2$, $j = l + 1/2$, به دست می‌آوریم

$$\alpha = \sqrt{\frac{l+m+1}{2l+1}} \quad \beta = \sqrt{\frac{l-m}{2l+1}} \quad (37-15)$$

(در واقع نسبت را به دست می‌آوریم؛ اینها مقادیر بهنجارشده هستند). بنابراین،

$$\psi_{l+1/2,m+1/2} = \sqrt{\frac{l+m+1}{2l+1}} Y_{lm} \chi_{+} + \sqrt{\frac{l-m}{2l+1}} Y_{l,m+1/2} \chi_{-} \quad (38-15)$$

می‌توان حدس زد که جواب www.arsanjan.blogfa.com می‌باشد بودن با جواب مربوط به $l + l = j$ ، باید به صورت زیر باشد

$$\psi_{l_1-l_2, m_1+m_2} = \sqrt{\frac{l-m}{2l+1}} Y_{l,m} \chi_+ - \sqrt{\frac{l+m+1}{2l+1}} Y_{l,m+1} \chi_- \quad (39-15)$$

قاعده‌های کلی جمع تکانه‌های زاویه‌ای، و پیامدهای آن برای ذرات یکسان

دو مثال بالا ویژگیهای کلی جمع تکانه‌های زاویه‌ای را نشان می‌دهند: با داشتن ویژه‌حالتهای $Y_{l_1, m_1}^{(1)}$ ، مربوط به L_1 و $L_1 z$ ، و ویژه‌حالتهای $Y_{l_2, m_2}^{(2)}$ ، مربوط به L_2 و $L_2 z$ ، می‌توان تعداد حاصلضرب توابع زیر را تشکیل داد

$$Y_{l_1, m_1}^{(1)} Y_{l_2, m_2}^{(2)} \begin{cases} -l_1 \leq m_1 \leq l_1 \\ -l_2 \leq m_2 \leq l_2 \end{cases} \quad (40-15)$$

این توابع موج را می‌توان با ویژه‌مقدار عملگر

$$J_z = L_1 z + L_2 z \quad (41-15)$$

که $m_1 + m_2$ است و از مقدار بیشینه $-l_1 + l_2$ تا مقدار کمینه $-l_1 - l_2$ تغییر می‌کند، رده‌بندی کرد. مانند دو مورد ساده‌ای که قبلاً بررسی کردیم، ترکیب‌های خطی مختلف تابعهای مربوط به مقدار یکسان m به مقادیر مختلف z متعلق هستند. در جدول زیر ترکیب‌های ممکن مربوط به مثال خاص $l_1 = 1$ و $l_2 = 2$ را می‌بینید. در این جدول از نماد اختصاری (m_1, m_2) به جای $Y_{l_1, m_1}^{(1)}, Y_{l_2, m_2}^{(2)}$ استفاده کرده‌ایم. جمعاً ۴۵ ترکیب داریم، که با $(2l_1 + 2l_2 + 1)(2l_1 + 2l_2 + 1)$ سازگار است.

بالاترین حالت دارای تکانه زاویه‌ای کل $l_1 + l_2$ است، چنانکه می‌توان به سادگی از اعمال J^z بر $Y_{l_1, l_1}^{(1)} Y_{l_2, l_2}^{(2)}$ دید:

$$\begin{aligned} J^z Y_{l_1, l_1}^{(1)} Y_{l_2, l_2}^{(2)} &= (L_1^z + L_2^z + 2L_1 z L_2 z + L_1 + L_2 - + L_1 - L_2 +) Y_{l_1, l_1}^{(1)} Y_{l_2, l_2}^{(2)} \\ &= \hbar^z [l_1(l_1 + 1) + l_2(l_2 + 1) + 2l_1 l_2] Y_{l_1, l_1}^{(1)} Y_{l_2, l_2}^{(2)} \\ &= \hbar^z (l_1 + l_2)(l_1 + l_2 + 1) Y_{l_1, l_1}^{(1)} Y_{l_2, l_2}^{(2)} \end{aligned} \quad (42-15)$$

تعداد	www.arsanjjan.blogfa.com	مقدار m
۱		(۴, ۲)
۲		(۴, ۱)(۳, ۲)
۳		(۴, ۰)(۳, ۱)(۲, ۲)
۴		(۴, -۱)(۳, ۰)(۲, ۱)(۱, ۲)
۵		(۴, -۲)(۳, -۱)(۲, ۰)(۱, ۱)(۰, ۲)
۵		(۳, -۲)(۲, -۱)(۱, ۰)(۰, ۱)(-۱, ۲)
۵		(۲, -۲)(۱, -۱)(۰, ۰)(-۱, ۱)(-۲, ۲)
۵		(۱, -۲)(۰, -۱)(-۱, ۰)(-۲, ۱)(-۳, ۲)
۵		(۰, -۲)(-۱, -۱)(-۲, ۰)(-۳, ۱)(-۴, ۲)
۴		(-۱, -۲)(-۲, -۱)(-۳, ۰)(-۴, ۱)
۳		(-۲, -۲)(-۳, -۱)(-۴, ۰)
۲		(-۳, -۲)(-۴, -۱)
۱		(-۴, -۲)

این حالت مربوط به $j = 6$ در جدول بالا است. با اعمال پی در پی عملگر

$$J_- = L_{1-} + L_{2-} \quad (43-15)$$

یک ترکیب خطی از هر سطر جدول به دست می‌آید. این ترکیبها ۱۳ حالت تشکیل می‌دهند که متعلق به $j = 6$ هستند. پس از انجام این کار، یک حالت با $m = 5$, دو حالت با $m = 4, \dots, m = 1$ ، یک حالت با $m = -5$ باقی می‌ماند. این نتیجه‌گیری موجه است، و در واقع می‌توان وارسی کرد که حالت $m = 5$ به $j = 6$ مربوط می‌شود. باز هم با اعمال پی در پی L_- یک ترکیب خطی دیگر از هر سطر جدول به دست می‌آوریم، که جمعاً ۱۱ حالت مربوط به $j = 5$ تشکیل می‌دهند. با ادامه این روند مجموعه‌هایی مربوط به $j = 4, 3, 2, 1$ و سرانجام $j = 0$ به دست می‌آیند. تعداد اینها به ۴۵ می‌رسد:

$$13 + 11 + 9 + 7 + 5 = 45$$

جزئیات این تجزیه را بررسی نمی‌کنیم زیرا این کار فراتر از اهداف این کتاب است. تنها به بیان نتایج می‌پردازیم.

(الف) حاصلضربهای $Y_{l_1, l_2, \dots, l_m}^{(1)} Y_{l_1, l_2, \dots, l_m}^{(2)}$ را می‌توان به ویژه حالت‌های J با ویژه مقدارهای $\xi^1(j+1), \xi^2(j+1)$ تجزیه کرد؛ ز می‌تواند مقادیر زیر را بگیرد

$$j = l_1 + l'_1 l_1 + l_2 - 1, \dots, |l_1 - l_2| \quad (44-15)$$

می‌توان تحقیق کرد که تعداد حالتها را جمع بزنیم بدست

$$l_1 \geq l_2 \quad (l_1, l_2)$$

$$\begin{aligned} & [2(l_1 + l_2) + 1] + [2(l_1 + l_2 - 1) + 1] + \cdots + [2(l_1 - l_2) + 1] \\ &= \sum_{n=0}^{2l_2} [2(l_1 - l_2 + n) + 1] \\ &= (2l_2 + 1)(2l_1 + 1) \end{aligned} \quad (45-15)$$

(ب) رابطه‌های ۳۸-۱۵ و ۳۹-۱۵ را می‌توان تعیین داد و رشته کلبش‌گورдан را به دست آورد:

$$\psi_{jm} = \sum_{m_1} C(jm; l_1 m_1 l_2 m_2) Y_{l_1 m_1}^{(1)} Y_{l_2 m_2}^{(2)} \quad (46-15)$$

ضرایب $C(jm; l_1 m_1 l_2 m_2)$ را ضرایب کلبش‌گوردان می‌نامند؛ این ضرایب را به ازای مقادیر زیادی از شناسه‌ها جدول‌بندی کرده‌اند. در اینجا این ضرایب را به ازای $l_2 = 1/2$ محاسبه کرده‌ایم، و خلاصه ۳۷-۱۵ و ۳۸-۱۵ را در جدول زیر نوشته‌ایم. توجه کنید که $m = m_1 + m_2$ و در نتیجه m در این رابطه‌ها همان m_1 در جدول زیر است.

$C(jm; l_1 m_1, 1/2, m_2)$	
$m_2 = 1/2$	$m_2 = -1/2$
$j = l_1 + 1/2$	$\sqrt{\frac{l_1 + m + 1/2}{2l_1 + 1}}$
$j = l_1 - 1/2$	$-\sqrt{\frac{l_1 - m + 1/2}{2l_1 + 1}}$

یک جدول مفید دیگر عبارت است از

$C(jm; l_1 m_1, 1, m_2)$		
$m_2 = 1$	$m_2 = 0$	$m_2 = -1$
$j = l_1 + 1$	$\sqrt{\frac{(l_1 + m)(l_1 + m + 1)}{(2l_1 + 1)(2l_1 + 2)}}$	$\sqrt{\frac{(l_1 - m + 1)(l_1 + m + 1)}{(2l_1 + 1)(l_1 + 1)}}$
$j = l_1$	$-\sqrt{\frac{(l_1 + m)(l_1 - m + 1)}{2l_1(l_1 + 1)}}$	$\frac{m}{\sqrt{l_1(l_1 + 1)}}$
$j = l_1 - 1$	$\sqrt{\frac{(l_1 - m)(l_1 - m + 1)}{2l_1(2l_1 + 1)}}$	$-\sqrt{\frac{(l_1 - m)(l_1 + m)}{l_1(2l_1 + 1)}}$

و در پایان باید نکته‌ای را تذکر کنیم که دستگاه متشکل از دو الکترون (یا به طور کلی دو فرمیون) باید در حالتی باشد که تحت تعویض دو ذره پادمتقارن است. در این تعویض، علاوه بر تبادل مختصات فضایی، تبادل نشانه‌های اسپینی نیز دخیل است. برای دستگاهی متشکل از دو ذره یکسان با اسپین $S = 1/2$ ، حالتهای سه‌تایی $S = 1$ ، یعنی

$$\frac{1}{\sqrt{2}}(\chi_{+}^{(1)}\chi_{-}^{(2)} + \chi_{-}^{(1)}\chi_{+}^{(2)}) \quad (47-15)$$

$$\chi_{-}^{(1)}\chi_{-}^{(2)}$$

تحت تعویض نشان اسپینی متقارن هستند، در حالی که حالت تکتایی $S = 0$

$$\frac{1}{\sqrt{2}}(\chi_{+}^{(1)}\chi_{-}^{(2)} - \chi_{-}^{(1)}\chi_{+}^{(2)}) \quad (48-15)$$

پادمتقارن است. بنابراین،تابع موج فضایی باید برای حالت سه‌تایی پادمتقارن و برای حالت تکتایی متقارن باشد. تابع موج فضایی دستگاه دو ذره‌ای در چارچوب مرکز جرم به صورت کلی زیر است

$$u(\mathbf{r}) = R_{nlm}(r)Y_{lm}(\theta, \phi) \quad (49-15)$$

تعویض مختصات دو ذره هم‌ارز تبدیل زیر است

$$\begin{aligned} r &\rightarrow r \\ \theta &\rightarrow \pi - \theta \\ \phi &\rightarrow \phi + \pi \end{aligned} \quad (50-15)$$

بنابراین، تابع شعاعی تغییر نمی‌کند. اما تحت این تبدیل داریم

$$\begin{aligned} Y_{lm}(\theta, \phi) &\rightarrow Y_{lm}(\pi - \theta, \phi + \pi) \\ &= (-1)^l Y_{lm}(\theta, \phi) \end{aligned} \quad (51-15)$$

در نتیجه، تکانه زاویه‌ای مداری ℓ باید برای حالتهای سه‌تایی فرد و برای حالتهای تکتایی زوج باشد. در بحث اتم هلیم کاربرد این نتیجه را خواهیم دید.

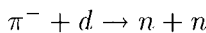
نکاتی درباره پاریته www.arsanjan.blogfa.com

استدلال بالا را می‌توان برای بررسی خواص Y_{lm} تحت وارونی بهکار برد. تبدیل $x \rightarrow -y$, $y \rightarrow -z$, $z \rightarrow -x$ است. بنابراین، می‌بینیم که ذره‌ای در یک حالت تکانه زاویه‌ای مداری دارای تابع موجی است که با ${}^l(-1)^m$ تغییر می‌کند. حالتهای مداری با l زوج حالتهای پاریته زوج نیز هستند، و حالتهای مداری با l فرد حالتهای پاریته فرد هستند. اما باید توجه داشت که ذرات می‌توانند پاریته ذاتی هم داشته باشند. می‌توان پاریته الکترون و نوترون و پروتون را زوج تعریف کرد. آنگاه، به عنوان مثال، پاریته حالت $l = 1$ برای هیدروژن، فرد است، در حالی که پاریته حالت پایه آن زوج است.

در مکانیک کوانتومی نسبیتی می‌توان نشان داد که پاریته ذاتی پادذرة یک فرمیون مخالف پاریته ذاتی فرمیون است. مثلاً e^+ دارای پاریته ذاتی منفی است، و در نتیجه حالت پایه پوزیترونیم که برای آن $= l$ پاریته منفی دارد.

یک کاربرد جالب این نکات را در فیزیک ذرات بنیادی می‌توان دید. یکی از اولین ذرات بنیادی ناپایدار که بنایه پیش‌بینی یوکاوا باید کشف می‌شد مزون π بود. این ذره که دارای سه حالت بار ${}^+, {}^0$ و ${}^-$ است نقش مهمی در نیروهای هسته‌ای دارد. معلوم شد که این ذره دارای اسپین $\frac{1}{2}$ است، و این سؤال پیش آمد که با فرض اینکه ذرات شناخته شده پروتون و نوترون پاریته ذاتی مثبت داشته باشند، تابع موج مزون پی که بعداً پیون نامیده شد تحت انعکاس زوج است یا فرد؟ آزمایش زیر پیشنهاد شد.

گیراندازی π^- توسط دوترون را در نظر بگیرید. یک پیون کند در دوتریم مایع از راههای مختلفی انرژی از دست می‌دهد تا سرانجام در پایین‌ترین مدار بور حول هسته (pn) قرار گیرد، و سپس تحت تأثیر نیروهای هسته‌ای گیر می‌افتد. در واکنش هسته‌ای



تکانه زاویه‌ای برابر با 1 است؛ اسپین پیون صفر است، و تکانه زاویه‌ای مداری در پایین‌ترین حالت بور صفر است، و در نتیجه تنها تکانه زاویه‌ای دوترون که 1 است، در این مورد سهیم است. بنابراین، دو نوترون باید در حالت تکانه زاویه‌ای 1 باشند. اگر اسپین کل دو نوترون $= 0$ باشد، تکانه زاویه‌ای مداری باید 1 باشد. اگر اسپین کل حالت دو نوترون 1 باشد، تکانه زاویه‌ای مداری می‌تواند $0, 1$ ، و 2 باشد، زیرا جمع دو تکانه زاویه‌ای که هر یک از آنها برابر واحد است می‌تواند $0, 1$ ، و 2 باشد، و افزودن یک واحد به دو واحد تکانه زاویه‌ای می‌تواند $3, 2$ ، و 1 را بدست دهد. اما حالت تکتایی دو فرمیون یکسان باید تکانه زاویه‌ای زوج داشته باشد، و از این رو کنار گذاشته می‌شود. یک حالت سه‌تایی باید تکانه زاویه‌ای مداری فرد داشته باشد، و این در صورتی ممکن است که تکانه زاویه‌ای مداری 1 باشد. اما این حالت بنایه $51-15$ دارای پاریته فرد است، و در نتیجه پیون باید پاریته

فرد داشته باشد. با نمادنگاری $\text{http://arsanjari.blogfa.com}$ جالت $\Psi_{j,m}$

$${}^2S+1 L_j \quad (52-15)$$

نشانگذاری می‌شود، حالت‌های دونوترون، از تمام رده حالت‌های $^1S_1, ^1P_1, ^1D_2, ^1F_2, ^1P_2, ^3S_1, ^3P_1, ^3D_2, ^3F_2, ^3P_2, ^3D_1, ^3F_4, ^3P_0, ^3D_3, ^3F_3, ^3P_1, ^3D_2, ^3F_4, ^3P_2, ^3D_1, ^3F_2, ^3P_0, ^3D_2, ^3F_{2,1,2}, ^3P_{2,1,0}, ^3D_2, ^3F_{2,1,2}, ^3P_1$... محدود می‌شوند، و از اینها تنها یک حالت، حالت 3P_1 ، دارای تکانه زاویه‌ای ۱ است.

۳- مسائل

۱-۱۵-۳۹ و ۳۸-۱۵ به جمع تکانه زاویه‌ای مداری با اسپین ۱ را به تفصیل بنویسید.

(الف) ویژه حالت‌های S_z و Z را به دست آورید. در این مورد،

$$S_z = \hbar \begin{pmatrix} 1 & 0 & 0 \\ 0 & 0 & 0 \\ 0 & 0 & -1 \end{pmatrix}$$

(ب) اگر این ویژه حالتها را با ${}_+4, {}_04, {}_-4$ نشان دهیم، نتیجه اعمال S_+ و S_- بر این حالتها را به دست آورید.

(ج) تأثیر

$$\mathbf{J}^\dagger = \mathbf{L}^\dagger + \mathbf{S}^\dagger + 2L_zS_z + L_+S_- + L_-S_+$$

را بر ترکیب‌های مانند

$$\psi_{jm+1} = \alpha Y_{lm}\xi_1 + \beta Y_{l,m+1}\xi_0 + \gamma Y_{l,m+2}\xi_{-1}$$

محاسبه کنید.

(د) رابطه‌های میان α , β و γ را با استفاده از معادله زیر تعیین کنید

$$\mathbf{J}^\dagger \Psi_{j,m} = h^\dagger j(j+1)\Psi_{j,m}$$

۲-۱۵-۴۷ را برای دو ذره با اسپین ۱، که از ترکیب آنها حالت‌های اسپین ۲، ۰ و

به دست می‌آیند، محاسبه کننده arsanjan.blogfa.com اسپین تک ذره‌ای استفاده کنید.

۱۵-۳ دوترون دارای اسپین ۱ است. حالت‌های ممکن اسپین و تکانه زاویه‌ای کل دو دوترون را در یک حالت تکانه زاویه‌ای اختیاری L به دست آورید. قواعد متقارن‌سازی را فراموش نکنید.

۱۵-۴ ذره‌ای با اسپین ۱ در پتانسیل مرکزی زیر حرکت می‌کند

$$V(r) = V_1(r) + \frac{S \cdot L}{\hbar^2} V_2(r) + \frac{(S \cdot L)^2}{\hbar^4} V_3(r)$$

مقادیر $V(r)$ را در حالت‌های $J = 1$ و $L = 1$ به دست آورید.

۱۵-۵ بحث تعیین پاریته $-\pi^-$ را در نظر بگیرید. فرض کنید $-\pi^-$ اسپین ۱ دارد اما باز هم در واکنش

$$\pi^- + d \rightarrow 2n$$

در یک حالت مداری $L = 0$ گیر می‌افتد. حالت‌های ممکن دو نوترون را به دست آورید. اگر پاریته π^- منفی باشد چه حالت‌هایی مجاز هستند؟

۱۵-۶ فرض کنید $+\pi^-$ اسپین ۱ و پاریته منفی دارد اما در واکنش

$$\pi^- + d \rightarrow 2n$$

از مدار P گیر می‌افتد. نشان دهید که این دو نوترون باید در حالت تکنایی باشند.

۷-۱۵ هامیلتونی یک دستگاه اسپین‌دار عبارت است از

$$H = A + \frac{BS_1 \cdot S_2}{\hbar^2} + \frac{C(S_{1z} + S_{2z})}{\hbar}$$

ویژه‌مدارها و ویژه‌تابعهای دستگاه دو ذره‌ای را به دست آورید اگر (الف) هر دو ذره اسپین $1/2$ داشته باشند؛ (ب) یکی از ذرات اسپین $1/2$ و دیگری اسپین ۱ داشته باشد. در قسمت (الف) فرض کنید دو ذره یکسان هستند.

۸-۱۵ دو ذره با اسپین $1/2$ را در نظر بگیرید؛ اسپینهای این دو ذره با عملگرهای پائولی σ_1 و σ_2 توصیف می‌شوند. \hat{e} را بردار واحد راستایی بگیرید که دو ذره را به هم وصل می‌کند و عملگر زیر را تعریف کنید

$$S_{12} = 3(\sigma_1 \cdot \hat{e})(\sigma_2 \cdot \hat{e}) - \sigma_1 \cdot \sigma_2$$

نشان دهد اگر این دو ذره در $\hat{S}_{12}X = 0$ تکانه‌کش آنگا

$$S_{12}X = 0$$

برای حالت سه‌تایی داریم

$$(S_{12} - 2)(S_{12} + 4)X = 0$$

[راهنمایی: \hat{e} را در راستای z بگیرید].

۹-۱۵ در یک دستگاه نوترون-پروتون کم‌انرژی (که دارای تکانه زاویه‌ای مداری صفر است) انرژی پتانسیل با رابطه زیر داده می‌شود

$$V(r) = V_1(r) + V_2(r) \left(3 \frac{(\sigma_1 \cdot \mathbf{r})(\sigma_2 \cdot \mathbf{r})}{r^4} - \sigma_1 \cdot \sigma_2 \right) + V_2(r) \sigma_1 \cdot \sigma_2$$

که در آن r برداری است که دو ذره را به هم متصل می‌کند. انرژی پتانسیل این دستگاه پروتون-نوترون را در حالتهای زیر محاسبه کنید.

(الف) در حالت تکتایی اسپین.

(ب) در حالت سه‌تایی.

۱۵-۱۵ دو الکترون را در حالت تکتایی اسپین در نظر بگیرید.

(الف) اگر اندازه‌گیری اسپین یکی از الکترونها نشان دهد که این الکترون در حالتی با $s_z = 1/2$ است، احتمال این را تعیین کنید که اندازه‌گیری مؤلفه z اسپین الکترون دیگر مقدار $1/2$ را به دست دهد.

(ب) اگر اندازه‌گیری اسپین یکی از الکترونها نشان دهد که این الکترون در حالتی با $s_y = 1/2$ است، احتمال اینکه از اندازه‌گیری مؤلفه x اسپین مقدار $-1/2$ برای الکترون دوم به دست آید چقدر است؟

(ج) اگر الکترون (۱) در حالتی باشد که با $-\chi \cos \alpha_1 + \sin \alpha_1 e^{i\beta_1}$ و الکترون (۲) در حالتی باشد که با $-\chi \cos \alpha_2 + \sin \alpha_2 e^{i\beta_2}$ توصیف می‌شود، احتمال این را به دست آورید که حالت دو الکترون یک حالت سه‌تایی باشد.

مراجع

مطلوب این فصل، با روش‌های مختلفی، در تمام کتابهای درسی مکانیک کوانتومی بیان می‌شوند. بسیاری از جزئیات را می‌توان در کتاب زیر یافت

M E Rose, *Elementary Theory of Angular Momentum*, John Wiley & Sons, New York, 1957.

۱۶

نظریه اختلال مستقل از زمان

نظریه اختلال برای حالت‌های ناواگن

تعداد پتانسیلهای $V(r)$ که برای آنها معادله شرودینگر حل دقیق دارد اندک است، و بیشتر آنها را قبلاً بررسی کردیم. بنابراین، برای معادله‌هایی که حل دقیق ندارند باید از روش‌های تقریبی برای تعیین ویژه‌مقدارها و ویژه‌تابعها استفاده کنیم. در این فصل به بررسی نظریه اختلال می‌پردازیم: فرض می‌کنیم ویژه‌مقدارها و مجموعه کامل ویژه‌تابعهای بهنجارشده هامیلتونی H را داریم:

$$H_0 \phi_n = E_n^\circ \phi_n \quad (1-16)$$

و می‌خواهیم ویژه‌مقدارها و ویژه‌تابعهای هامیلتونی زیر را به دست آوریم

$$H = H_0 + \lambda H_1 \quad (2-16)$$

یعنی می‌خواهیم معادله ویژه‌مقداری زیر را حل کنیم

$$(H_0 + \lambda H_1) \psi_n = E_n \psi_n \quad (3-16)$$

کیتیهای مطلوب را به صورت [کلیک کنید](http://arsahjan.blogspot.com) [www.arsahjan.blogspot.com](http://arsahjan.blogspot.com) مستلة همگرایی این رشته‌ها را بررسی نمی‌کنیم. اغلب این رشته‌ها نمی‌توانند همگرا باشند، اما باز هم چند جمله اول آنها، وقتی λ کوچک است، دستگاه فیزیکی را به خوبی توصیف می‌کنند. فرض می‌کنیم اگر $\rightarrow \lambda$ ، آنگاه $\psi_n \rightarrow \phi_n$ و $E_n \rightarrow E_n^{\circ}$ چون ϕ ‌ها یک مجموعه کامل تشکیل می‌دهند، می‌توان ψ را برحسب آنها بسط داد. می‌نویسیم

$$\psi_n = N(\lambda) \left\{ \phi_n + \sum_{k \neq n} C_{nk}(\lambda) \phi_k \right\} \quad (4-16)$$

ضریب $N(\lambda)$ برای بهنجار کردن ψ_n است. در انتخاب فاز ψ آزادیم، و آن را به گونه‌ای انتخاب می‌کنیم که ضریب ϕ_n در بسط بالا حقیقی و مثبت باشد. چون وقتی $\rightarrow \lambda$ می‌خواهیم $\psi_n \rightarrow \phi_n$ باید

$$\begin{aligned} N(\circ) &= 1 \\ C_{nk}(\circ) &= 0 \end{aligned} \quad (5-16)$$

به طور کلی داریم

$$C_{nk}(\lambda) = \lambda C_{nk}^{(1)} + \lambda^r C_{nk}^{(r)} + \dots \quad (6-16)$$

و

$$E_n = E_n^{\circ} + \lambda E_n^{(1)} + \lambda^r E_n^{(r)} + \dots \quad (7-16)$$

بنابراین، معادله شرودینگر به صورت زیر در می‌آید

$$\begin{aligned} (H_0 + \lambda H_1) &\left\{ \phi_n + \sum_{k \neq n} \lambda C_{nk}^{(1)} \phi_k + \sum_{k \neq n} \lambda^r C_{nk}^{(r)} \phi_k + \dots \right\} \\ &= (E_n^{\circ} + \lambda E_n^{(1)} + \lambda^r E_n^{(r)} + \dots) \left\{ \phi_n + \sum_{k \neq n} \lambda C_{nk}^{(1)} \phi_k + \sum_{k \neq n} \lambda^r C_{nk}^{(r)} \phi_k + \dots \right\} \end{aligned} \quad (8-16)$$

توجه کنید که ضریب بهنجار [www.artsahjanblogfa.com](http://artsahjanblogfa.com) انتظاری شود. با مساوی قرار دادن ضرایب مربوط به توانهای یکسان λ در دو طرف، یک رشته معادله به دست می‌آوریم. اولین معادله عبارت است از

$$H_{\circ} \sum_{k \neq n} C_{nk}^{(\circ)} \phi_k + H_{\circ} \phi_n = E_n^{\circ} \sum_{k \neq n} C_{nk}^{(\circ)} \phi_k + E_n^{(\circ)} \phi_n \quad (9-16)$$

با استفاده از $H_{\circ} \phi_k = E_k^{\circ} \phi_k$ به دست می‌آوریم

$$E_n^{(\circ)} \phi_n = H_{\circ} \phi_n + \sum_{k \neq n} (E_k^{\circ} - E_n^{\circ}) C_{nk}^{(\circ)} \phi_k \quad (10-16)$$

که اگر آنرا در ϕ_n ضرب نرده‌ای کنیم، با توجه به شرط راست‌هنگاری

$$\langle \phi_k | \phi_l \rangle = \delta_{kl} \quad (11-16)$$

به نتیجه زیر می‌رسیم

$$\lambda E_n^{(\circ)} = \langle \phi_n | \lambda H_{\circ} | \phi_n \rangle \quad (12-16)$$

این فرمول بسیار مهم است، و نشان می‌دهد که جابه‌جایی انرژی مرتبه اول برای یک حالت معین همان مقدار انتظاری پتانسیل اختلالی در آن حالت است. اگر تغییر پتانسیل دارای علامت معینی باشد، جابه‌جایی انرژی نیز همان علامت را خواهد داشت. صورت صریح

$$\lambda E_n^{(\circ)} = \int d^3r \phi_n^*(\mathbf{r}) \lambda H_{\circ}(\mathbf{r}) \phi_n(\mathbf{r}) \quad (13-16)$$

نشان می‌دهد برای اینکه این جابه‌جایی قابل ملاحظه باشد باید هم تغییر پتانسیل و هم چگالی احتمال $|\phi_n(\mathbf{r})|^2$ بزرگ باشند.

اگر ϕ_m را با $n \neq m$ در $10-16$ ضرب نرده‌ای کنیم به دست می‌آوریم

$$\langle \phi_m | H_{\circ} | \phi_n \rangle + (E_m^{\circ} - E_n^{\circ}) D_{nm}^{(\circ)} = 0$$

معنی

$$\lambda C_{nk}^{(\circ)} = \frac{\langle \phi_k | \lambda H_{\circ} | \phi_n \rangle}{E_n^{\circ} - E_k^{\circ}} \quad (14-16)$$

صورت کسر عنصر ماتریس H_{\circ} است. این فرمول در معادله www.arsahfajr.blogspot.com آنچه قطبی است. زیر به کار می‌رود، که از تساوی جمله‌های متناسب با λ^2 به دست می‌آید:

$$\begin{aligned} H_{\circ} \sum_{k \neq n} C_{nk}^{(1)} \phi_k + H_{\circ} \sum_{k \neq n} C_{nk}^{(1)} \phi_k &= E_n^{\circ} \sum_{k \neq n} C_{nk}^{(1)} \phi_k \\ &+ E_n^{(1)} \sum_{k \neq n} C_{nk}^{(1)} \phi_k + E_n^{(1)} \phi_n \end{aligned} \quad (15-16)$$

از ضرب نرده‌ای در ϕ_n داریم

$$\begin{aligned} E_n^{(1)} &= \sum_{k \neq n} \langle \phi_n | H_{\circ} | \phi_k \rangle C_{nk}^{(1)} = \sum_{k \neq n} \frac{\langle \phi_n | H_{\circ} | \phi_k \rangle \langle \phi_k | H_{\circ} | \phi_n \rangle}{E_n^{\circ} - E_k^{\circ}} \\ &= \sum_{k \neq n} \frac{|\langle \phi_k | H_{\circ} | \phi_n \rangle|^2}{E_n^{\circ} - E_k^{\circ}} \end{aligned} \quad (16-16)$$

در سطر آخر از هرمیتی بودن H_{\circ} استفاده کردہ‌ایم:

$$\langle \phi_n | H_{\circ} | \phi_k \rangle = \langle \phi_k | H_{\circ} | \phi_n \rangle^* \quad (17-16)$$

فرمول ۱۶-۱۶ نیز بسیار مهم است، مخصوصاً از این لحاظ که جایه‌جایی مرتبه اول غالباً به دلیل تقارن صفر می‌شود. این فرمول را می‌توان به صورت زیر تعبیر کرد: جایه‌جایی انرژی مرتبه دوم برابر است با مجموع جمله‌هایی که بزرگی آنها با محدود قدر مطلق عنصر ماتریسی داده می‌شود که حالت معین n ϕ را توسط پتانسیل اختلالی به تمام حالت‌های دیگر مربوط می‌کند، و با معکوس اختلاف انرژی بین حالت‌ها موزون شده است. از این فرمول می‌توان نتایج زیر را به دست آورد:

(الف) اگر n حالت پایه، یعنی حالت کمترین انرژی، باشد آنگاه مخرج کسر همیشه منفی است، و در نتیجه ۱۶-۱۶ همیشه منفی است.

(ب) اگر تمام چیزهای دیگر یکسان باشند، یعنی اگر تمام عناصر ماتریس H_{\circ} تقریباً از یک مرتبه بزرگی باشند (که می‌توان بدون آگاهی خاص بیشتری حدس زد) آنگاه ترازهای نزدیک تأثیر زیادتری بر جایه‌جایی انرژی مرتبه دوم نسبت به ترازهای دور دارند.

(ج) اگر یک تراز مهم " k " — مهم از این نظر که در نزدیکی قرار دارد، یا اینکه $\langle \phi_k | H_{\circ} | \phi_n \rangle$ بزرگ است — بالای تراز معین " n " قرار داشته باشد آنگاه جایه‌جایی مرتبه دوم به طرف پایین است، و اگر پایینتر باشد جایه‌جایی به طرف بالا است. در این مورد می‌گوییم ترازها می‌خواهند یکدیگر را دفع کنند.

رابطه $C_{nk}^{(2)}$ را می‌توان از [www.arsanjan.blogfa.com](http://arsanjan.blogfa.com) به دست آورد، اما نیازی به این فرمول نداریم. همچنین می‌توان $N(\lambda)$ را از رابطه زیر تعیین کرد

$$\begin{aligned}\langle \psi_n | \psi_n \rangle &= N^*(\lambda) \left\{ 1 + \lambda^* \sum_{k \neq n} |C_{nk}^{(1)}|^2 + \dots \right\} \\ &= 1\end{aligned}\quad (18-16)$$

که نشان می‌دهد $N(\lambda)$ تا مرتبه اول λ برابر با ۱ است. بنابراین، تا مرتبه اول λ ، می‌توان نوشت

$$\psi_n = \phi_n + \sum_{k \neq n} \frac{\langle \phi_k | \lambda H_1 | \phi_n \rangle}{E_n^* - D_k^*} \phi_k \quad (19-16)$$

این فرمول گاهی به کار می‌آید.

نظریه اختلال واگن

اگر واگنی وجود داشته باشد باید تغییراتی در بررسی قبلی وارد کنیم، زیرا بر حسب ظاهر، اختلاف ارزی در مخرج کسرها می‌تواند صفر شود. مشکل به این واقعیت مربوط است که به جای تنها یک ϕ_n چندین $\phi_n^{(i)}$ وجود دارند که همه آنها دارای ارزی E_i^* هستند. این ویژه‌تباوهای را می‌توان نسبت به نشان \circ راست‌هنگار کرد، زیرا چنانکه در فصل ۴ دیدیم این نشان \circ می‌تواند به ویژه‌مقدارهای عملگرهای هرمیتی دیگری، که به طور همزمان جایه‌جاشونده هستند، وابسته باشد. بنابراین، مجموعه $\phi_n^{(i)}$ را به گونه‌ای انتخاب می‌کنیم که

$$\langle \phi_m^{(j)} | \phi_n^{(i)} \rangle = \delta_{mn} \delta_{ij} \quad (20-16)$$

روش بدیهی برای به حساب آوردن واگنی این است که به جای H رابطه‌ای بگذاریم که در آن ترکیبیهای خطی ویژه‌تابوهای واگن H وارد می‌شوند:

$$\psi_n = N(\lambda) \left\{ \sum_i \alpha_i \phi_n^{(i)} + \lambda \sum_{k \neq n} C_{nk}^{(1)} \sum_i \beta_i \phi_k^{(i)} + \dots \right\} \quad (21-16)$$